

CLAVE	2021-HC-10	TIPO	ESTUDIO
RREFERENCIA CRONOLÓGICA	OCTUBRE 2021	CLASE	SERVICIOS
TÍTULO BÁSICO	ESTUDIO DEL BALANCE ANUAL DE MASA EN EL GLACIAR DE LA MALADETA		
INFORME	DETERMINACIÓN DEL BALANCE ANUAL DE MASA Y MOVIMIENTO DEL HIELO EN EL GLACIAR DE LA MALADETA. AÑO HIDROLÓGICO 2020-2021		
EMPRESA CONSULTORA	SPESA INGENIERÍA S.A.		



UBICACIÓN	LA MALADETA (BENASQUE)
REFERENCIA CRONOLÓGICA	OCTUBRE 2021
TÍTULO BÁSICO	ESTUDIO DEL BALANCE ANUAL DE MASA EN EL GLACIAR DE LA MALADETA
INFORME	DETERMINACIÓN DEL BALANCE ANUAL DE MASA Y MOVIMIENTO DEL HIELO EN EL GLACIAR DE LA MALADETA. AÑO HIDROLÓGICO 2020-2021
AÑO HIDROLÓGICO	2020-2021

ÍNDICE

GENERALIDADES	4
<u>ANTECEDENTES</u>	4
METODOLOGÍA	5
CONCEPTOS Y TÉRMINOS	5
TÉCNICAS APLICADAS	8
RED DE BALIZAS DE ABLACIÓN	9
<u>TRABAJOS REALIZADOS</u>	13
BALANCE DE MASA 2020-2021	13
CAMPAÑAS DE CAMPO	18
ANÁLISIS DE DATOS	21
DETERMINACIÓN DEL MOVIMIENTO DEL HIELO	23
<u>RESUMEN Y CONCLUSIONES</u>	25

ANEJOS

ANEJO 1. GRÁFICOS

ANEJO 1.1 GLACIAR DE LA MALADETA. RED DE BALIZAS DE OBSERVACIÓN
ANEJO 1.2 GLACIAR DE LA MALADETA. MOVIMIENTOS INDIVIDUALES DE LAS BALIZAS

ANEJO 1.3 GLACIAR DE LA MALADETA. LÍMITES DEL GLACIAR
ANEJO 1.4 GLACIAR DE LA MALADETA. PERFIL LONGITUDINAL

ANEJO 2. RESULTADOS MODELO HIDROLÓGICO ASTER

ANEJO 3. FOTOGRAFÍAS

GENERALIDADES

El presente documento, con carácter de **INFORME**, tiene por objeto presentar un avance de las principales conclusiones alcanzadas así como el detalle de los trabajos desarrollados, en la realización de los apartados correspondientes a:

Determinación del balance anual de masa y del movimiento del hielo en el glaciar de La Maladeta (año hidrológico 2020-2021) apartados correspondientes a la Asistencia Técnica “**ESTUDIO DEL BALANCE ANUAL DE MASA EN EL GLACIAR DE LA MALADETA**”.

Dicha Asistencia Técnica se enmarca dentro del **Programa ERHIN** de la **Confederación Hidrográfica del Ebro** del **Ministerio para la Transición Ecológica y el Reto Demográfico**.

ANTECEDENTES

El funcionamiento de la dinámica glaciar establece una conexión evidente entre los procesos de hielo y nieve; la acumulación de hielo glaciar se produce desde la transformación de acumulaciones anteriores de nieve que perduran después del período cálido anual. Más allá del valor que presenta la cuantificación de los recursos hídricos implicados en estos procesos, el mayor interés del conocimiento de la evolución de los aparatos glaciares procede de ser éstos unos valiosos testigos de la actividad nival y por lo tanto hidrológica, por cuanto proporcionan información sobre dos aspectos muy importantes relacionados con el factor nieve: acumulación total anual y fluctuación climática a media y larga escala.

Esta propiedad que ostentan los glaciares de acusar las variaciones interanuales del clima, cuya respuesta más evidente es la fluctuación de sus frentes, los convierte en útil instrumento para determinar el sentido y magnitud de los cambios climáticos. En particular, la posición meridional de los glaciares pirenaicos les confiere un valor excepcional y casi único en Europa para el estudio de dichos cambios climáticos en nuestras latitudes.

El Programa ERHIN (Evaluación de los Recursos Hídricos procedentes de la INnivación) de la DGA viene realizando desde 1990 un seguimiento sistemático de los glaciares,

atendiendo a sus dinámicas morfométricas, evolutivas, climáticas, nivológicas e hidrológicas. Para ello este programa desarrolla un plan de trabajo que engloba actividades muy diversas en estos campos, como son:

- Control anual de las fluctuaciones glaciares.
- Actualización permanente de la información cartográfica.
- Medida del balance de masa glaciar.
- Determinación de espesores y estructura interna de las masas de hielo.
- Determinación de la topografía de los lechos glaciares.
- Cuantificación del movimiento superficial del hielo.
- Relación de la dinámica glaciar con respecto a la climática y más en concreto con respecto a la nival.
- Planificación general de investigaciones.

En lo que se refiere a los trabajos específicos del balance de masa, la DGOH procedió en 1991 a la instalación en el glaciar de La Maladeta de siete balizas de ablación. Así, desde 1992 se vienen realizando controles anuales sistemáticos de este aparato glaciar, disponiéndose en la actualidad de datos de treinta años hidrológicos completos. El control topográfico de las balizas de ablación ha permitido, además, la determinación del movimiento superficial del hielo.

Los trabajos se han desarrollado con la ayuda del helicóptero AS 350 Ecureuil B3 (Aerospatiale Soud Aviation), contratado con la empresa Eliance con base en el Valle de Arán (Lérida). Resulta un aparato altamente cualificado para este tipo de trabajos en alta montaña.

METODOLOGÍA

CONCEPTOS Y TÉRMINOS

El balance anual de masa es la cantidad que expresa la variación sufrida por el volumen de hielo de un determinado glaciar a lo largo de un período hidrológico anual completo. En la práctica, este balance se mide en términos de columna de agua equivalente (aplicando las densidades respectivas de hielo y nieve), como valor específico aplicable a toda la superficie

ocupada por el hielo. De este modo se trabaja con una variable reducida que permite rápidas comparaciones con otros glaciares de muy distintos tamaños.

Los diferentes procesos que intervienen sobre el glaciar a lo largo del año se describen, simplificadamente, a continuación.

Al comienzo del período invernal, esto es, cuando comienza el período de acumulación nival sobre el glaciar, la superficie presenta un estado que denominaremos inicial. Sobre un corte transversal, como el presentado en la figura 1, esta superficie define un perfil inicial. Durante todo el período invernal se suceden las precipitaciones en forma de nieve, de tal modo que, cuando dicho período puede darse en teoría por concluido, se ha definido un perfil de máxima acumulación nival superpuesto sobre el anterior. A partir de entonces comienza el período de ablación, en el que predomina la fusión de nieve -también la sublimación- y las precipitaciones pueden considerarse en su mayor parte líquidas (lluvia). Al terminar el período de ablación y con él el anual dando comienzo un nuevo ciclo, el glaciar adopta un perfil final definitivo distinto del inicial.

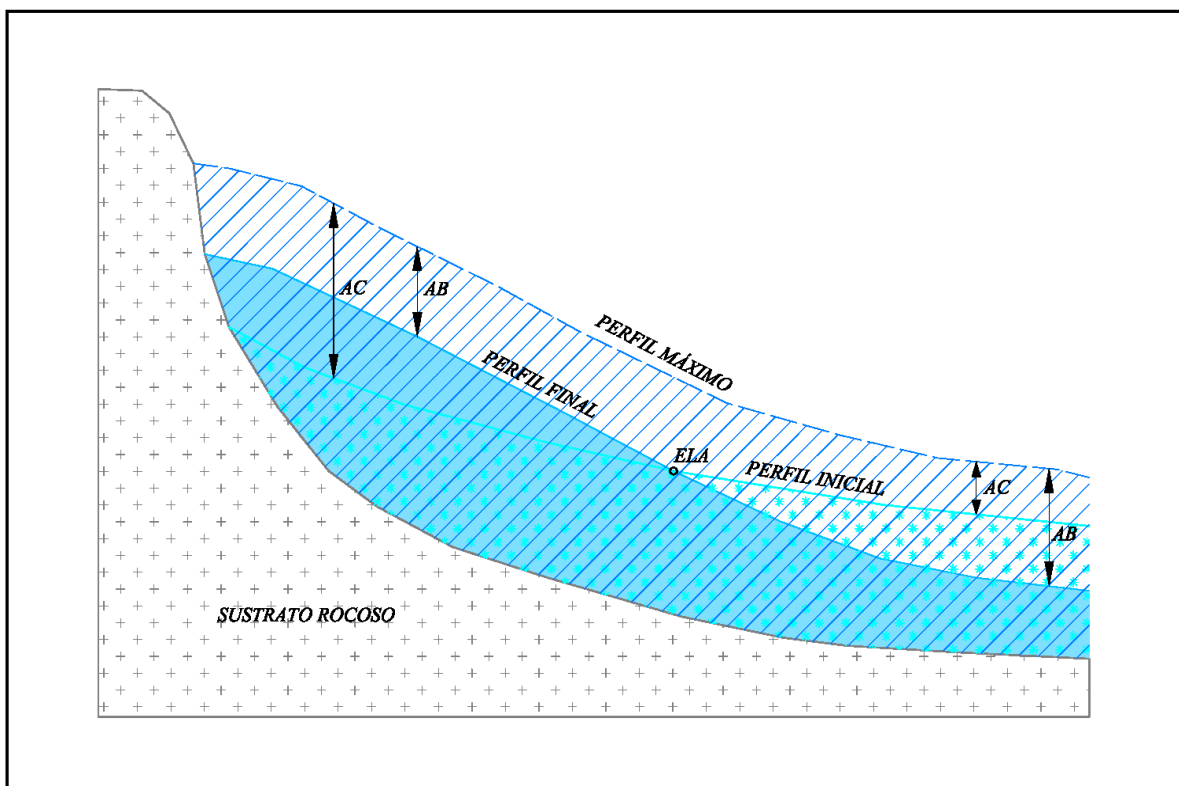


Figura 1. Esquema de un perfil glaciar.

En general, sobre cada punto del glaciar se habrán dado valores particulares de acumulación y de ablación y de la diferencia entre ambos se obtendrá el balance puntual. En determinadas áreas, las más altas o de acumulación, ocurre que durante el período de ablación no llega a fundir toda la nieve acumulada en invierno; en este caso el perfil definitivo se sitúa intermedio entre el inicial y el máximo, el balance es positivo y se da ganancia de masa. En las partes bajas la tasa de ablación supera a la de acumulación máxima; en este caso toda la nieve invernal desaparece e incluso funde parte del hielo glaciar subyacente, dándose una cierta pérdida de la masa preexistente.

Estas condiciones determinan la existencia de un punto (sobre el perfil, que es una línea a nivel superficial) en el que el balance es nulo, ya que la ablación es exactamente igual a la acumulación nival. La línea así dibujada sobre la superficie del glaciar es la denominada "línea de equilibrio". En la práctica, como es bien conocido, tanto la acumulación como la ablación pueden ser consideradas como fuertemente relacionadas con la precipitación y temperatura y éstas, caracterizadas por gradientes que dependen fundamentalmente de la altitud. Dicho de otro modo, la línea de equilibrio se asemeja mucho a una curva de nivel topográfico, de ahí que se maneje el concepto de "altitud de la línea de equilibrio" (ELA: Equilibrium Line Altitude) como valor característico anual en un glaciar determinado, separando claramente las llamadas zonas de acumulación (ganancia) y ablación (pérdida).

Esta exposición responde, como se ha dicho, a una interpretación ciertamente simplista. En la realidad el fenómeno es más complicado, no existiendo, por ejemplo, una separación temporal tan meridianamente clara entre los distintos períodos (lo cual no influye demasiado a la hora de calcular el balance).

A todo ello se debe superponer la componente dinámica asociada a la masa de hielo. La existencia de una zona con ganancia de masa, frente a otra con pérdida, determina la existencia de un flujo natural que provoca el desplazamiento del hielo como material plástico, con velocidades muy diversas que dependen de tamaños y espesores de la masa de hielo. Así, en algunos casos deberá tenerse en cuenta la llamada "zona de hielo sobreimpuesto", que corresponde a una pequeña banda situada por debajo de la línea de equilibrio pero donde existe ganancia de masa; esta ganancia es debida al aporte másico producido dinámicamente desde la zona de acumulación situada inmediatamente por encima de la línea de equilibrio,

dándose un balance puntual positivo a pesar de encontrarse situada en una altitud donde la ablación es superior a la acumulación.

TÉCNICAS APLICADAS

Los procedimientos utilizables para proceder al cálculo de los diferentes componentes que intervienen en el balance son muy variados, y su diferente aptitud depende en gran medida de las características particulares de cada problema planteado.

En el glaciar de La Maladeta y dada la superficie a controlar, se ha optado por un método englobado entre los denominados "lineales".

Consiste, básicamente, en un procedimiento de cálculo que se apoya sobre datos obtenidos a partir de una red de balizas previamente instaladas en el hielo. La disposición de esta red persigue determinar, lo más fielmente posible, el gradiente altitudinal existente tanto en precipitaciones (acumulación), como en fusión (ablación-temperatura). Con estos valores puntuales se definen las correspondientes funciones lineales -con respecto a la altitud- que permiten realizar un cálculo extrapolado sobre el total de la superficie glaciar.

Las medidas de acumulación se realizan con la ejecución de sondeos en la capa de nieve, con extracción continua de testigo y determinación de la densidad -o equivalente en agua- por pesada directa de columna de testigo. Los puntos de muestreo se emplazan lo más cercano posible al emplazamiento de las balizas incrustadas en el hielo. No obstante, y dado que tales balizas son invisibles en la época de realización de las medidas (con máxima acumulación nival de hasta 6 metros de espesor, sobre balizas con emergencia máxima de 2 metros), dicho posicionamiento se realiza de manera aproximada -por ejemplo con uso de altímetro y en los últimos años mediante GPS de navegación-. Esta práctica no tiene por qué añadir errores adicionales, siempre y cuando la lectura de altitudes se realice correctamente, no teniendo mayor trascendencia el hecho de que las lecturas no correspondan a posiciones exactas de las balizas.

Las medidas de ablación se realizan directamente sobre las balizas incrustadas en el hielo, a partir de la diferencia de lecturas -de longitud de emergencia sobre el hielo-, respecto

a la temporada anterior. Así mismo, en los últimos años se están tomando puntos de la superficie por topografía clásica. Esto permite también medir el balance por diferencia entre superficies topográficas correspondientes a dos años hidrológicos consecutivos.

RED DE BALIZAS DE ABLACIÓN

De acuerdo con los criterios enunciados, la red de balizas instaladas inicialmente en La Maladeta se componía de un total de siete. Cinco de ellas se situaron a diferentes altitudes conformando una línea de máxima pendiente sobre el eje principal del glaciar. Las dos restantes se emplazaron a uno y otro lado, respectivamente, de esta línea teórica, en la zona de mayor amplitud del glaciar, formando una cruz a la altura de la baliza intermedia del eje principal (pueden observarse en la figura 2).

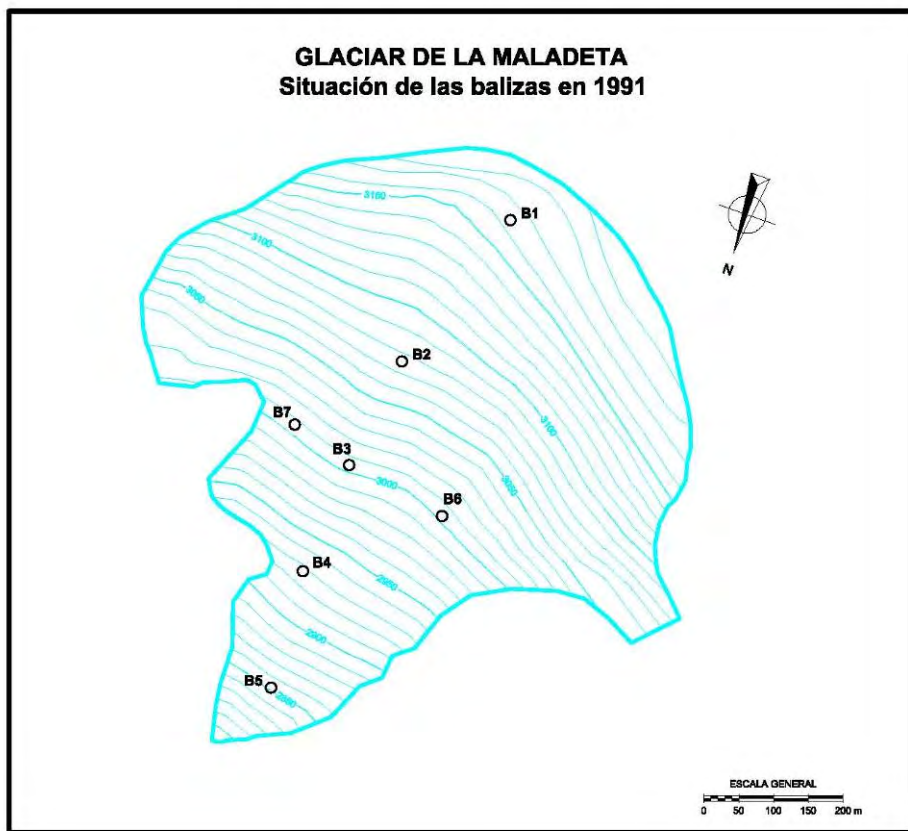


Figura 2: Red inicial de Balizas de Ablación

Cada baliza totaliza una longitud de 10 metros y están formadas por cinco tramos de 2 metros cada uno, fabricados en madera y pintados en colores diferentes (azul-negro-verde-

amarillo-rojo). La unión entre tramos se realiza por medio de un pequeño trozo de cadena metálica, con el fin de dotar de la necesaria flexibilidad al conjunto y permitir, con ello, su adecuación al movimiento diferencial del hielo estratificado. En el extremo inferior de la baliza (tramo rojo) se dispone un fleje metálico, con el fin de garantizar la sujeción permanente del conjunto a la masa de hielo.



Para el emplazamiento de las balizas se realizan perforaciones previas en la capa de hielo, con el fin de preparar el taladro hueco de acogida del conjunto. En este caso se ha empleado un procedimiento de sondeo con vapor de agua, que resulta un procedimiento sencillo y de gran rendimiento (hasta 100 metros/hora). Los sondeos se prolongan hasta profundidades entre 9 y 10 metros, de acuerdo con las longitudes de las balizas preparadas en taller. Todas las balizas quedan después replanteadas con topografía de precisión, realizada desde una base adecuada externa al hielo.



La red de balizas de ablación del glaciar de La Maladeta se implantó en octubre de 1991 con un total de 7 balizas. Posteriormente en 1996, 2000, 2004, 2007, 2013 y 2018 se han realizado reinstalaciones de estos elementos a medida que han ido quedando inoperativas, al aflorar del hielo en su totalidad. Así se han instalado un total de 30 balizas. La red básica ha pasado a ser de 4 elementos de control en vez de 7 ya que la zona donde se situaba la B7 y B8 quedó aislada debido a la aparición de un afloramiento rocoso con lo que el movimiento en esa zona era inapreciable y actualmente ya no queda nada de hielo en esa zona. Tampoco se instalaron en 2007 balizas en la zona de la B6 ya que el continuo estrechamiento del glaciar ha hecho que también desaparezca esa zona, por lo que se ha preferido instalar las balizas tan solo en el eje central del mismo. Así mismo, en la zona donde se encontraban las balizas B5, B12 y B17, el hielo ha desaparecido por completo al retroceder el frente del glaciar. En 2007 se instaló una baliza (B20) a una cota situada entre las primeras B1 y B2 que permitía obtener el movimiento del glaciar en su parte superior, pero sin que ocurriera como con la B1 que se perdió desde el primer año de instalación debido a que se situó en la zona alta del glaciar en la cual éste aumentaba de espesor, es decir, por haberse instalado por encima de la línea de equilibrio.

Durante las mediciones de ablación realizadas en el año hidrológico 2006-2007, se observó la desaparición de las balizas centrales B13 y B19 que eran las únicas que quedaban en 2006 con apenas 1 m de las mismas incrustadas en el hielo. Por ello, los cálculos de pérdida de espesor del glaciar se realizaron en dicho año hidrológico a partir de las cotas de puntos tomados mediante topografía clásica en la superficie del hielo glaciar en aquellas zonas donde estaban ubicadas las balizas antiguas.

Durante el año hidrológico 2010-2011, la baliza B23 situada a menor cota desapareció también, al salir en su totalidad al exterior. No obstante, el cálculo del balance en esa zona realizó por topografía clásica, a partir de la diferencia de cota entre dicho año y el anterior. Dado el poco espesor de hielo que debe quedar en esa parte del glaciar, en 2013 no se instalaron balizas a tan baja cota, siendo la cota de la baliza inferior (B26) 2.952 m. En el año hidrológico 2011-2012 desapareció también la baliza 21 y en el año hidrológico 2013-2014 desapareció la baliza 22. En 2016-2017 desapareció la baliza 26; en 2017-2018 la baliza 25 y en 2018-2019 la baliza 24. En el año hidrológico 2019-2020 desapareció la baliza 20.

En la campaña (2017-2018) se decidió instalar cuatro nuevas balizas. Para ello se obtuvo previamente la zona del glaciar en la que el espesor era superior a 10 m (longitud de las balizas a instalar) según un estudio geofísico realizado el año anterior. A partir del resultado obtenido se decidió instalar las nuevas balizas en el nuevo eje del glaciar y a una cota superior a 3.000 m según se muestra en la figura 3. Actualmente (2021) sólo quedan las balizas B27, B28, B29 y B30 instaladas en 2018. La baliza B1 instalada en 1991 en la parte alta del glaciar, justo en la salida de la rimaya, sigue sin aflorar. La B30 instalada a 3.032 m es la baliza situada actualmente a menor cota. La baliza B28 se ha instalado un poco hacia el este del eje del glaciar ya que existe una zona central con espesores menores de 10 m y que se ha tratado de evitar.

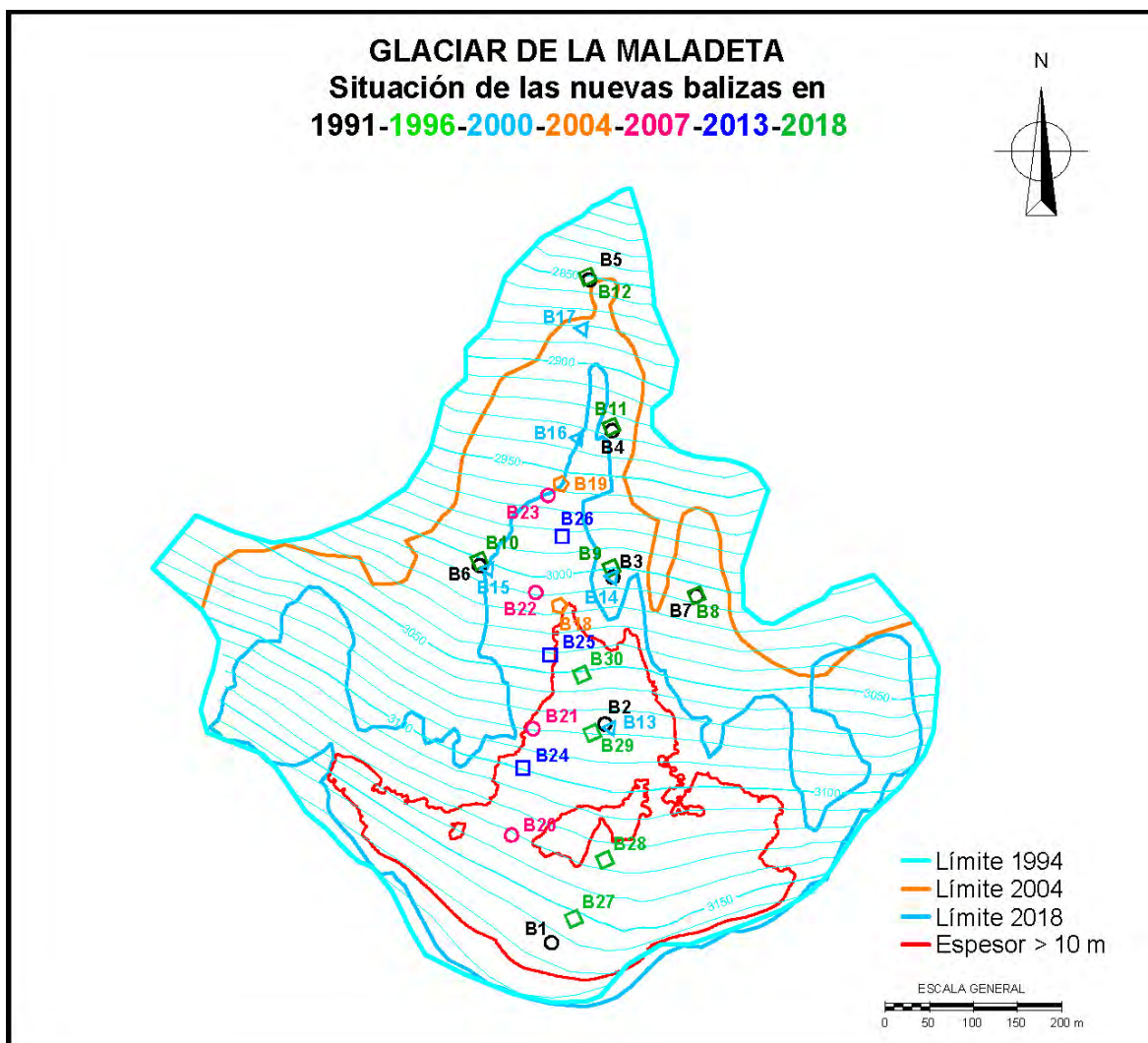


Figura 3: Situación de las nuevas Balizas de Ablación

TRABAJOS REALIZADOS

BALANCE DE MASA 2020-2021

El 30º año de observación (2020-2021), presenta un balance total de **-1.939 mm EQA**, el **segundo más desfavorable** de toda la serie (1991-92 – 2020-21). La línea de equilibrio (**ELA**) fija su posición **por encima de 3.200 m** que se corresponde con la cota máxima del glaciar, con un ratio de superficie de acumulación **AAR** (relación entre superficie de la zona de acumulación –o balance positivo- y la superficie total del glaciar) del **0%**. Cabe destacar el hecho de que desde el año hidrológico 2002-2003 la línea de equilibrio ha estado situada por encima de la cota superior del glaciar, salvo en los años hidrológicos 2007-2008 que se situó a 3.100 m, 2009-2010 a 3.000 m, 2012-2013 a 3.060 m, 2013-2014 a 3.090 m, 2017-2018 a 3.092 m y el pasado año 2019-2020 a 3.117 m. La parte alta del glaciar está a unos 3.200 m.

En el Gráfico 1 se representan las correspondientes curvas de acumulación, ablación y balance por cotas.

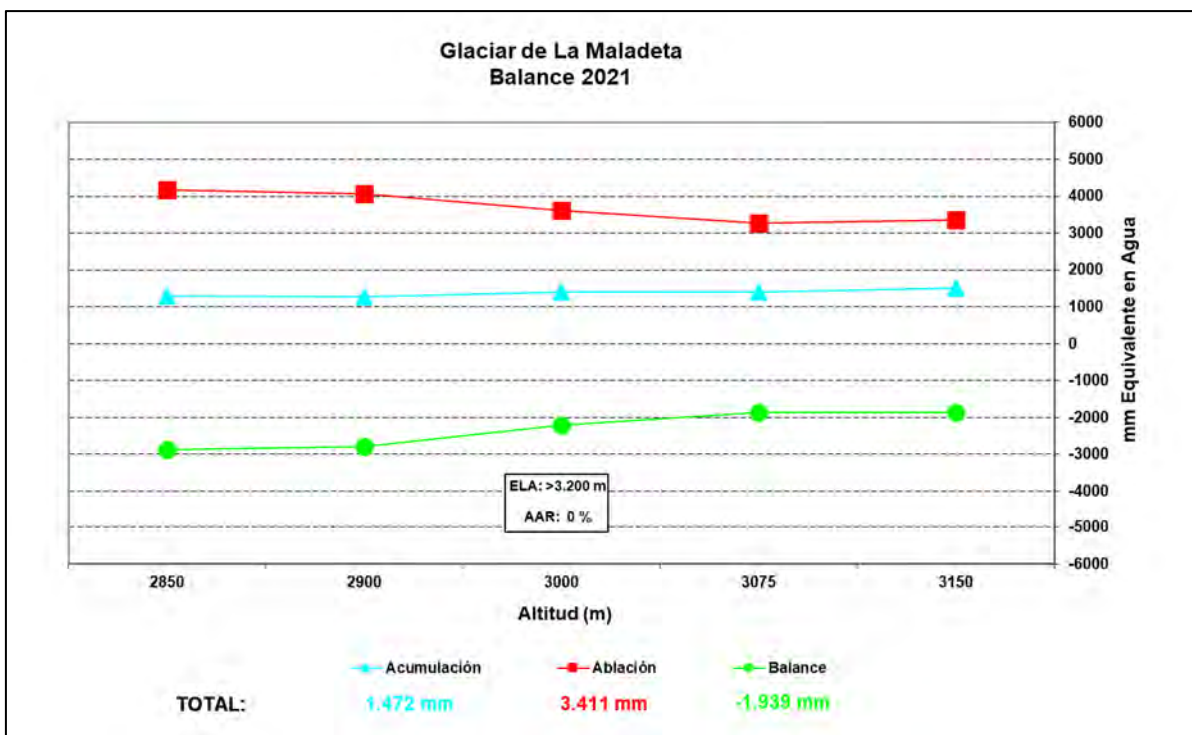


Gráfico 1

BALANCE DE MASA. GLACIAR DE LA MALADETA									
				Nº baliza / Altitud					
AÑO		TOTAL mm	ELA msnm	AAR %	B1 3.150 m	B2 3.100 m	B7(8)-3(9)-6(10) 3.000 m	B4 (11) 2.900 m	B5 (12) 2.850 m
	B 19	-1582			-1474	-1706	-1577	-2674	-3222
2020	AC 20	2383			2447	2233	2120	2391	2357
	AB 20	2596	3.117	31	2367	2644	3388	3510	3707
	B 20	-212			80	-410	-1268	-1120	-1350
2021	AC 21	1472			1503	1404	1409	1267	1301
	AB 21	3411	>3.200	0	3359	3275	3609	4062	4181
	B 21	-1939			-1857	-1871	-2199	-2795	-2880

Tabla I: Balance de Masa del glaciar de La Maladeta. 1992 a 2021

Con la ayuda de la Tabla I y los siguientes gráficos podemos comparar los datos de los 30 ciclos estudiados hasta el momento.

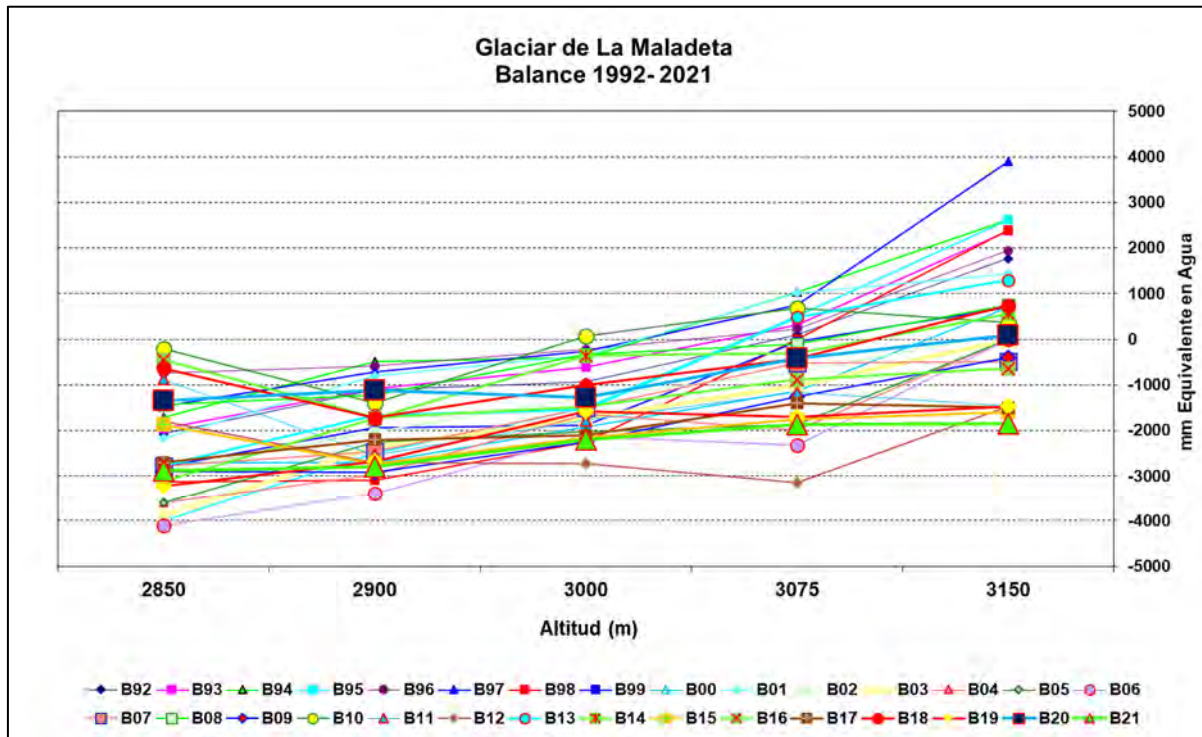


Gráfico 2

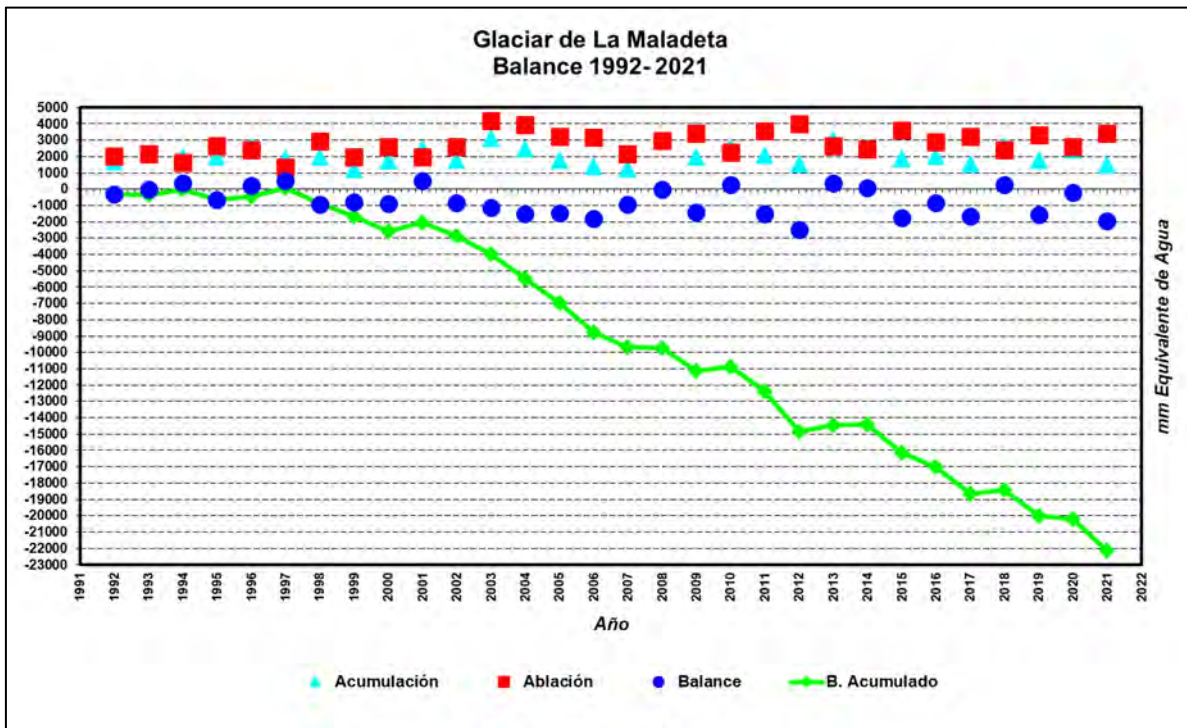


Gráfico 3

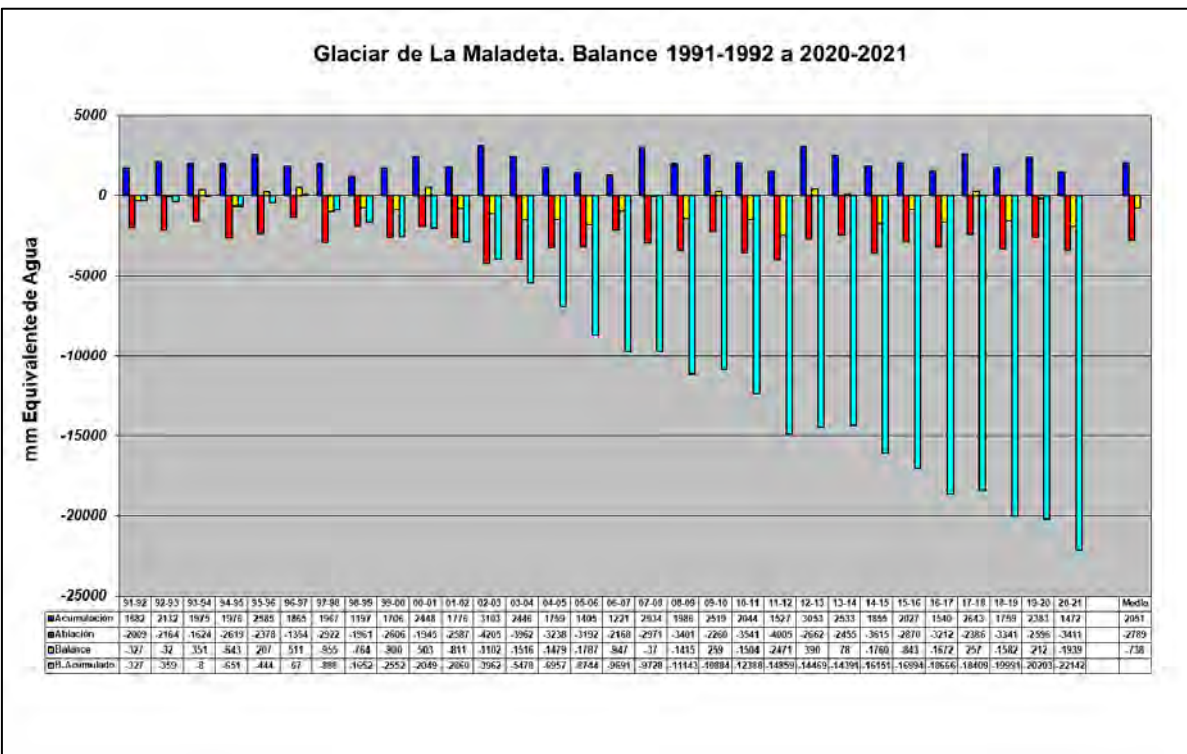


Gráfico 4

CAMPAÑAS DE CAMPO

La acumulación invernal se ha determinado a partir de los datos de espesores nivales obtenidos a diferentes cotas el **18 de junio de 2021**. Dichos espesores fueron:

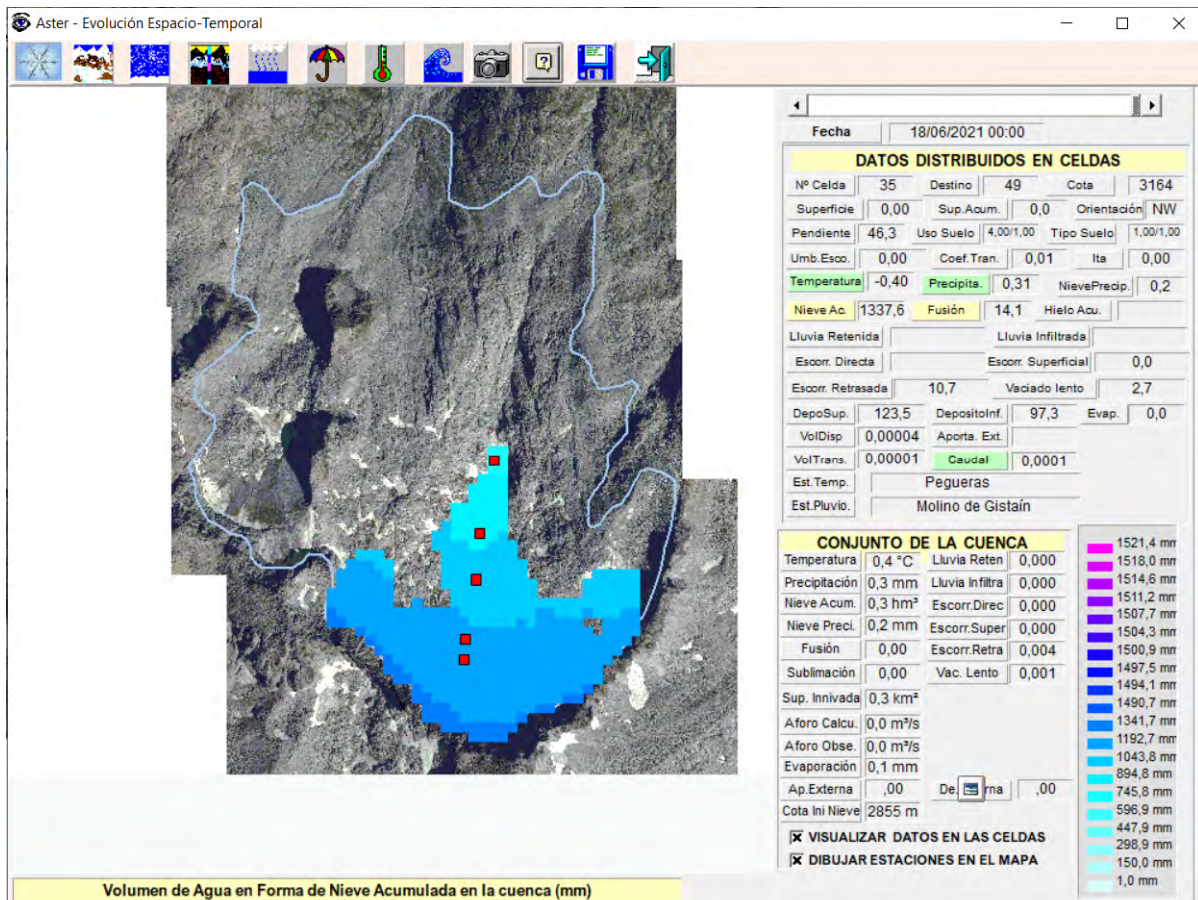
Cota (m)	Espesor (cm)	Observaciones
3.161	330	
3.152	260	Rimaya, canal acceso al pico Maladeta
3.145	265	
3.133	310	
3.125	305	
3.110	294	
3.104	286	
3.075	265	
3.075	270	
3.050	258	
3.025	305	
3.000	275	
2.985	267	
2.960	215	
2.940	223	
2.915	320	
2.880	310	
2.866	233	Pintura verde (límite 2014)
2.850	305	Estrecho última lengua
2.785	159	
2.674	0	Comienzo nieve

Con estos espesores y tomando unas densidades medias de los últimos años en los que sí se realizaron sondeos, se obtienen los siguientes valores de acumulación:

Sondeo	Cota m	H nieve cm	d g/cm ³	eq mm
1	3.125	294	0,57	1.676
2	3.075	270	0,58	1.565
7-3-6	3.000	282	0,59	1.666
4	2.940	253	0,60	1.516
5	2.870	283	0,61	1.724

A partir de estos valores y ajustándolos a las superficies del glaciar a diferentes cotas, se obtiene una acumulación total de **1.663 mm de agua equivalente**.

Con el fin de ajustar el cálculo de la acumulación glaciar se ha procedido también a su cálculo a partir de los datos hidrológicos disponibles mediante el modelo hidrológico-nival Aster. Los resultados completos de la simulación aparecen en el Anejo 2.



Los resultados obtenidos para el 18 de junio de 2021 son los siguientes:

Cotas		Aster Maladeta		
Aster	Glaciar	Diferencia	eq mm Aster	eq mm glaciar
3.212	3.125	-87	1.394,59	1.329,34
3.150	3.075	-75	1.299,70	1.243,45
3.050	3.000	-50	1.190,72	1.153,22
2.950	2.940	-10	1.024,54	1.017,04
2.878	2.870	-8	884,59	878,59

Que ajustando a las superficies del glaciar por cotas nos da un valor de **1.281 mm**.

Se ha decidido tomar el valor medio entre el resultado obtenido a partir de la medición de espesores y el obtenido a partir del modelo Aster. Estos valores son:

**Promedio medición-Aster
Maladeta**

Cota (m)	eq (mm)
3.125	1.502,57
3.075	1.404,00
3.000	1.409,49
2.940	1.266,52
2.870	1.301,43

El resultado final de la acumulación para el año hidrológico 2020-2021 sería **1.472 mm de agua equivalente**.

En la siguiente tabla aparecen los valores obtenidos por cota y superficie (a partir de los datos de superficies obtenidas en la campaña 2019-2020):

COTA MED.	SUP m ²	SUP.ACU. m ²	ACUMULACIÓN	
			PUNTUAL mm	SUP. mm
2725	0	0	0	0
2750	0	0	0	0
2775	0	0	0	0
2800	0	0	0	0
2825	0	0	0	0
2850	0	0	0	0
2875	617	617	1 301	803
2900	914	1 531	1 311	1 198
2925	2 438	3 969	1 320	3 217
2950	4 091	8 060	1 267	5 181
2975	5 513	13 573	1 338	7 376
3000	8 236	21 809	1 409	11 609
3025	11 341	33 150	1 420	16 109
3050	19 110	52 260	1 431	27 354
3075	27 215	79 475	1 404	38 210
3100	34 369	113 844	1 453	49 948
3125	33 208	147 052	1 503	49 897
3150	27 466	174 518	1 552	42 623
3175	18 062	192 580	1 601	28 920
3200	5 625	198 205	1 650	9 284
SUMA	198 205		SUMA	291 730
MEDIA	99103		Media	1 472

La toma de datos de ablación se llevó a cabo el **1 de octubre de 2021**. El paso de un frente frío justo unos días antes de la medición hizo que hubiera unos 10 cm de nieve nueva sobre el hielo glaciar lo que permitió que el personal se desplazara por el glaciar fácilmente y sin peligro de caídas, salvo en la parte baja del mismo.

Durante los últimos años el espesor ha crecido en cotas altas y ha disminuido de forma considerable en cotas bajas, por lo que la pendiente del glaciar es cada vez mayor. Debido a ello se aconseja que en próximas campañas de ablación el equipo que vaya por el glaciar esté compuesto por parejas con cuerdas de seguridad ya que cada vez es más difícil andar por el glaciar, sobre todo en margen izquierda. Así mismo, la pareja que vaya por margen izquierda deberá llevar casco debido a la casi continua caída de piedras de la pared superior del glaciar. También es recomendable esperar a que caiga la primera nevada y así sea más fácil andar por el glaciar ya que hacerlo por el hielo fósil extremadamente duro es muy difícil a pesar del uso de crampones.

ANÁLISIS DE DATOS

Año 2020-2021: en lo que se refiere a la acumulación calculada (**1.472 mm**), nos encontramos con el **cuarto peor valor** de la serie estudiada (30 años hidrológicos) y muy por debajo de la media (2.051 mm). Este invierno se ha caracterizado por ser uno de los menos nivosos de los últimos años y, aunque en primavera hubo nevadas a cotas superiores a 2.500 m, no compensó el déficit nival en altura.

La **ablación** total (**3.411 mm**) resulta la sexta peor de la serie de estudio estando por encima de la media (2.789 mm). Este verano se ha caracterizado por temperaturas igual o superiores a la media y precipitaciones por debajo de la media pero con abundantes tormentas vespertinas o nocturnas. Sin embargo, creemos que lo que sí ha influido notablemente fue la precipitación ocurrida en febrero con abundante **polvo sahariano** (de más de 1 cm de espesor) que ha supuesto una disminución importante del albedo y, por tanto, ha reflejado mucha menos luz solar, por lo que la superficie del hielo se ha calentado más y más rápido.

El **balance** (**-1.939 mm**) resulta el **segundo peor dato** de toda la serie y muy por debajo de la media (-738 mm). El balance acumulado supera ya los 20.000 mm (22.142 mm en concreto), lo que representa una pérdida media en todo el glaciar de 25 m de espesor en estos 30 años. En el presente año hidrológico 2020-2021 el espesor medio del glaciar de La Maladeta ha disminuido en 223 cm frente a los sólo 24 cm del año anterior. La pérdida o ganancia de espesor desde 2020 en las balizas operativas ha sido de:

B27 (3.146 m): -1,90 m

B28 (3.114 m): -2,07 m

B29 (3.057 m): -2,73 m

B30 (3.023 m): -3,27 m

A lo largo de los años de estudio hemos podido constatar la mayor importancia de la ablación frente a la acumulación como factor determinante del balance de masa. Si nos fijamos detenidamente en el gráfico 4, observamos que en algunos casos (96-97 y 97-98) partiendo de acumulaciones muy similares llegamos a ablaciones (y por lo tanto balances) muy dispares. Estos hallazgos nos llevaron a analizar con detalle los datos meteorológicos (cuando existían), encontrando que la ablación no tenía una relación con la termometría tan clara como “a Priori” pudiera parecer, es decir, con temperaturas medias mensuales muy similares encontrábamos ablaciones muy diferentes. Ello nos llevó a pensar en el factor precipitación como determinante de la ablación. En efecto, este análisis demostró que, con independencia de las temperaturas, se daban mayores ablaciones cuando el verano resultaba seco y, más aún, a igualdad de cantidad de precipitación, se encontraban diferencias notables dependiendo del mayor o menor número de días exentos de precipitación.

Los episodios esporádicos de pequeñas nevadas resultan normales en las áreas glaciares a lo largo del periodo estival y, aunque su importancia desde el punto de vista de la ganancia de masa es mínima, la nieve nueva, por su elevada capacidad de reflexión y su baja conductividad térmica aísla el glaciar, retardando los procesos de ablación. Este fenómeno es aún más significativo cuando afecta directamente al hielo descubierto, dado su menor albedo.

No obstante, la brevedad de la serie estudiada, la baja disponibilidad de datos meteorológicos, así como la relativa aplicabilidad de los datos termométricos y pluviométricos -se utilizan estaciones situadas unos 2.000 metros por debajo de la cota del glaciar- recomiendan interpretar estas primeras conclusiones como provisionales. Así mismo, sería de gran ayuda contar con datos termométricos más directos (instalación de termómetros de registro), así como la realización de campañas de control suplementarias (sobre todo en el periodo de ablación). En la misma línea, disponer de datos de balance de energía del glaciar supondría un gran apoyo a la investigación.

De cualquier modo, los datos de balance de masa disponibles indican una pérdida acumulada a lo largo de los últimos 30 años de 22.000 mm de agua, es decir unas pérdidas medias de hielo sobre el glaciar del orden de 25 metros, lo que indica una clara regresión de

La zona más rápida del glaciar presentaba un movimiento medio anual de aproximadamente 5 m.

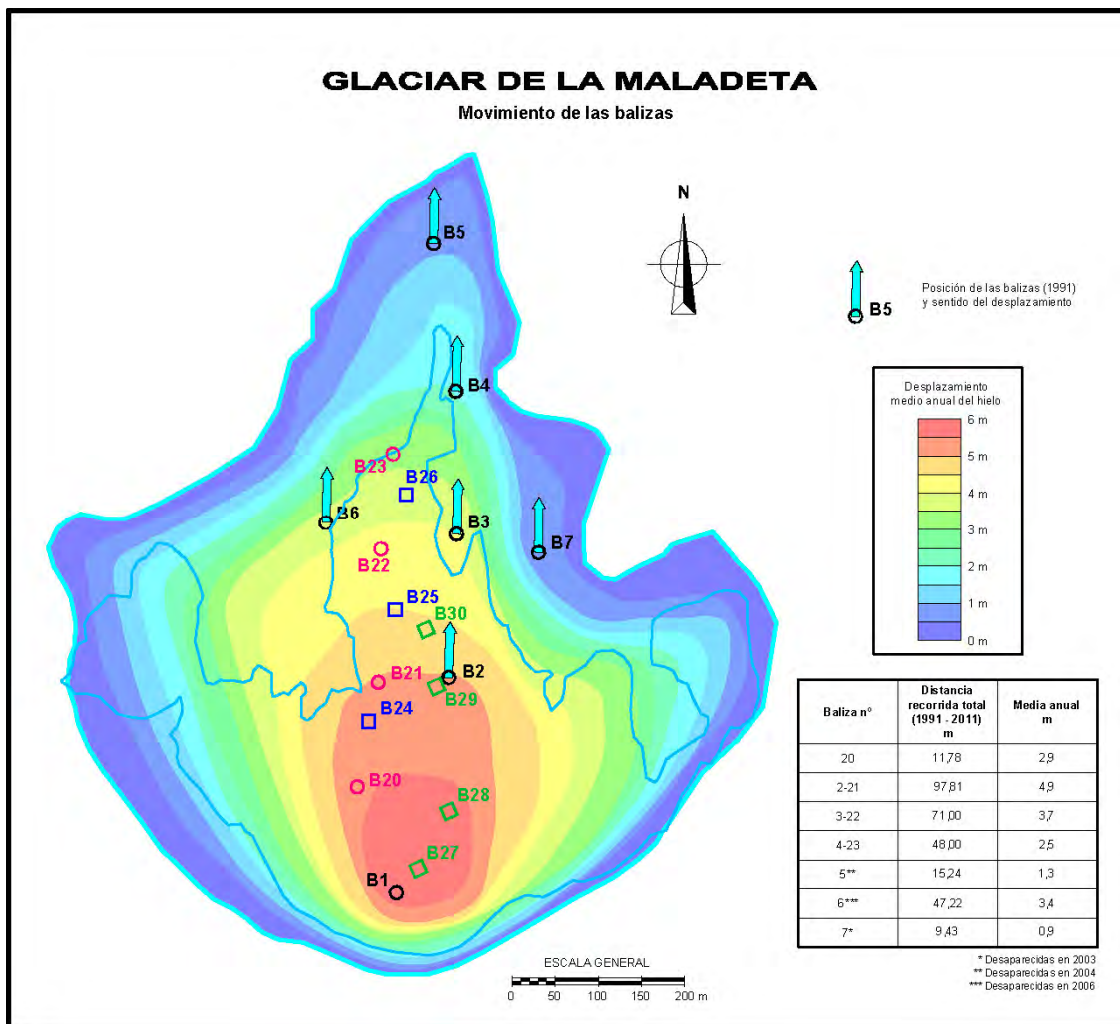


Figura 4: Movimiento superficial del hielo

En los últimos años se venía observando la disminución del movimiento del glaciar y se comprobaba a simple vista al no haber tantas grietas como en los primeros años. Sin embargo, en el presente año 2020-2021 ha aparecido gran cantidad de grietas en la parte superior del glaciar, algunas de ellas de considerable anchura y profundidad (ver anexo fotográfico) y se comprueba a partir de los desplazamientos medidos en la presente campaña:

B27 (3.146 m): 2,25 m desde 2020, 7,62 m desde que se instaló en 2018, lo que da una media de 2,54 m anuales.

B28 (3.114 m): 2,84 m desde 2020, 9,18 m desde que se instaló en 2018, lo que da una media de 3,01 m anuales.

B29 (3.057 m): 2,85 m desde 2020, 8,22 m desde que se instaló en 2018, lo que da una media de 2,74 m anuales.

B30 (3.023 m): 2,19 m desde 2020, 7,37 m desde que se instaló en 2018, lo que da una media de 2,39 m anuales.

A partir de estos datos obtenemos una media para el año 2020-2021 de 2,53 m y 2,67 desde que se instalaron en 2018.

RESUMEN Y CONCLUSIONES

De los trabajos de seguimiento de la evolución del glaciar de la Maladeta se puede concluir que:

La **acumulación** medida en el año hidrológico 2020-2021 es de **1.472 mm** de agua equivalente, lo que se corresponde con el **4º peor año** de los 30 medidos. Ese dato se corresponde con espesores de nieve medidos sobre el hielo glaciar comprendidos entre 215 cm a 330 cm (campaña de medición realizada en junio de 2021).

En la campaña de **ablação** se ha obtenido una pérdida de **3.411 mm** de agua equivalente, que se corresponde con el **6º peor año** de los medidos.

El **balance** de masa, obtenido como diferencia entre los anteriores, supone una pérdida en el glaciar **-1.939 mm** de agua equivalente, correspondiendo con el **2º peor año** de los medidos.

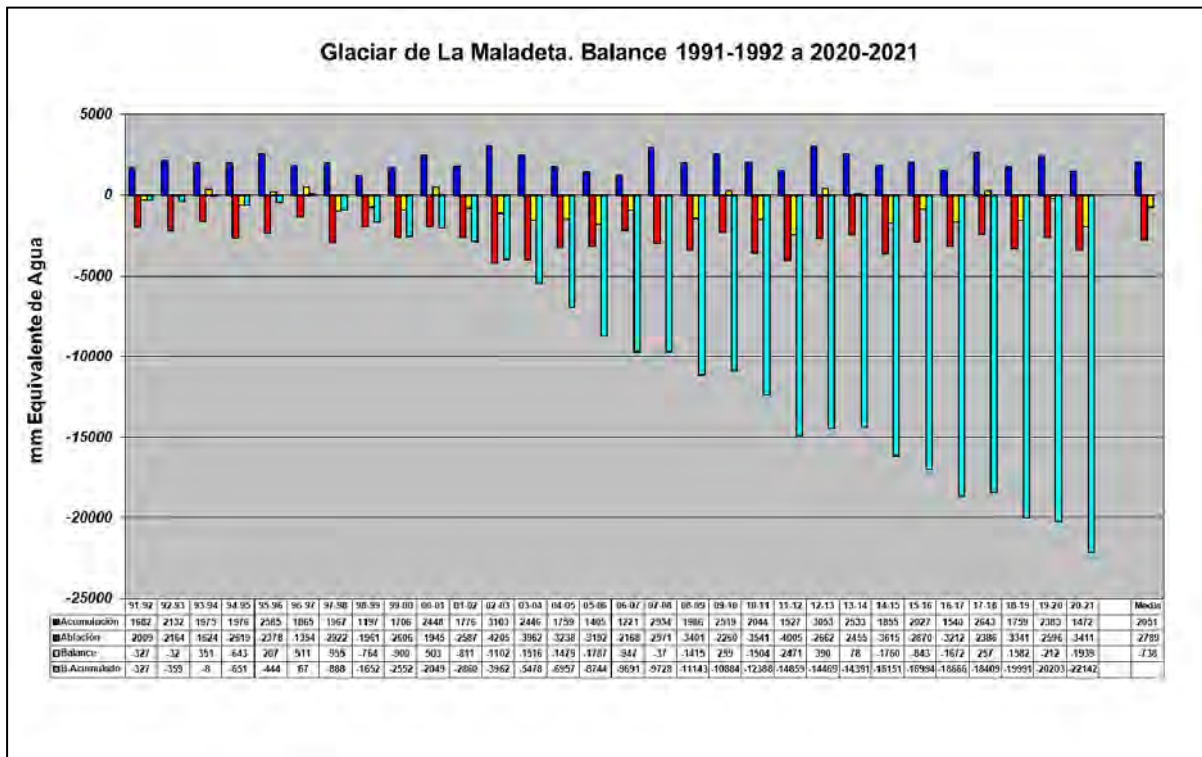


Gráfico del balance 1992-2021

Si se analizan los espesores de hielo, este año el hielo glaciar se ha reducido 223 cm de espesor medio, superando los 3 m en el frente del glaciar.

El espesor medio perdido desde el año 1992 es de 25 m. En el frente del glaciar, la pérdida de espesor alcanza los 50 m desde 1992.

Las balizas instaladas en el hielo glaciar han avanzado una media de 2,53 m y han perdido una media de 2,49 m de espesor respecto a 2020.

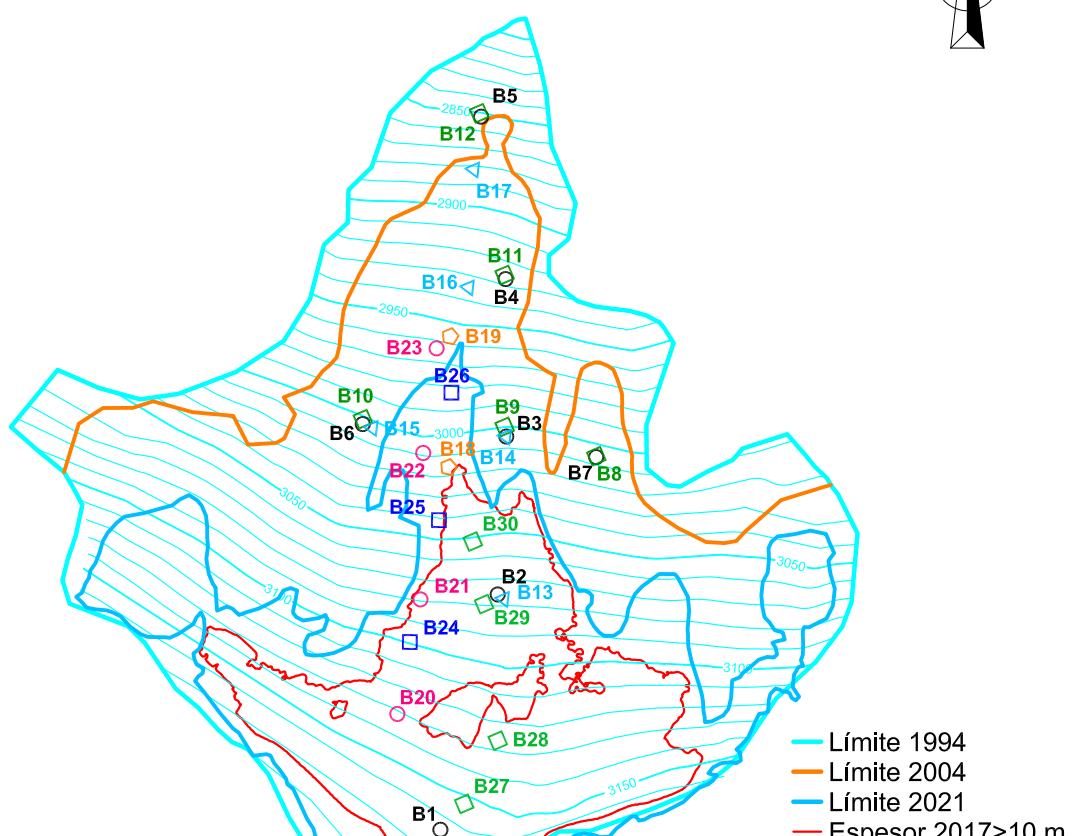
La superficie ha disminuido en 1,61 ha respecto a 2020, quedando una superficie glaciar de 18,21 ha frente a las 50 ha medidas en 1991 (pérdida del 64 % de la superficie).

El frente del glaciar ha retrocedido unos 350 m desde 1991.

ANEJO 1. GRÁFICOS

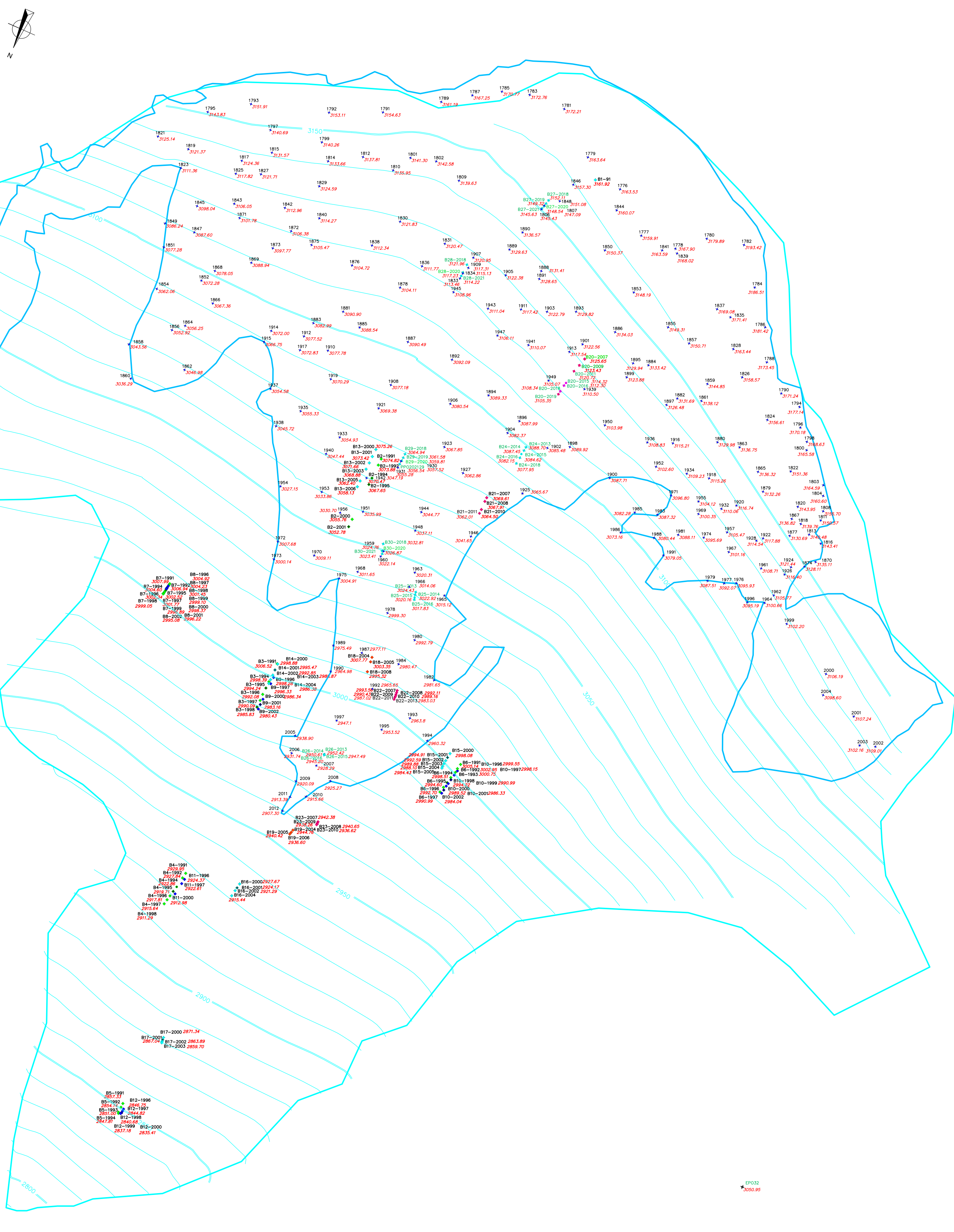
1.1.- GLACIAR DE LA MALADETA. RED DE BALIZAS DE OBSERVACIÓN

GLACIAR DE LA MALADETA
Situación de las nuevas balizas en
1991-1996-2000-2004-2007-2007-2013-2018

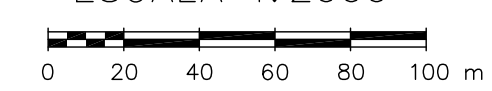


MALADETA

Situación de las balizas



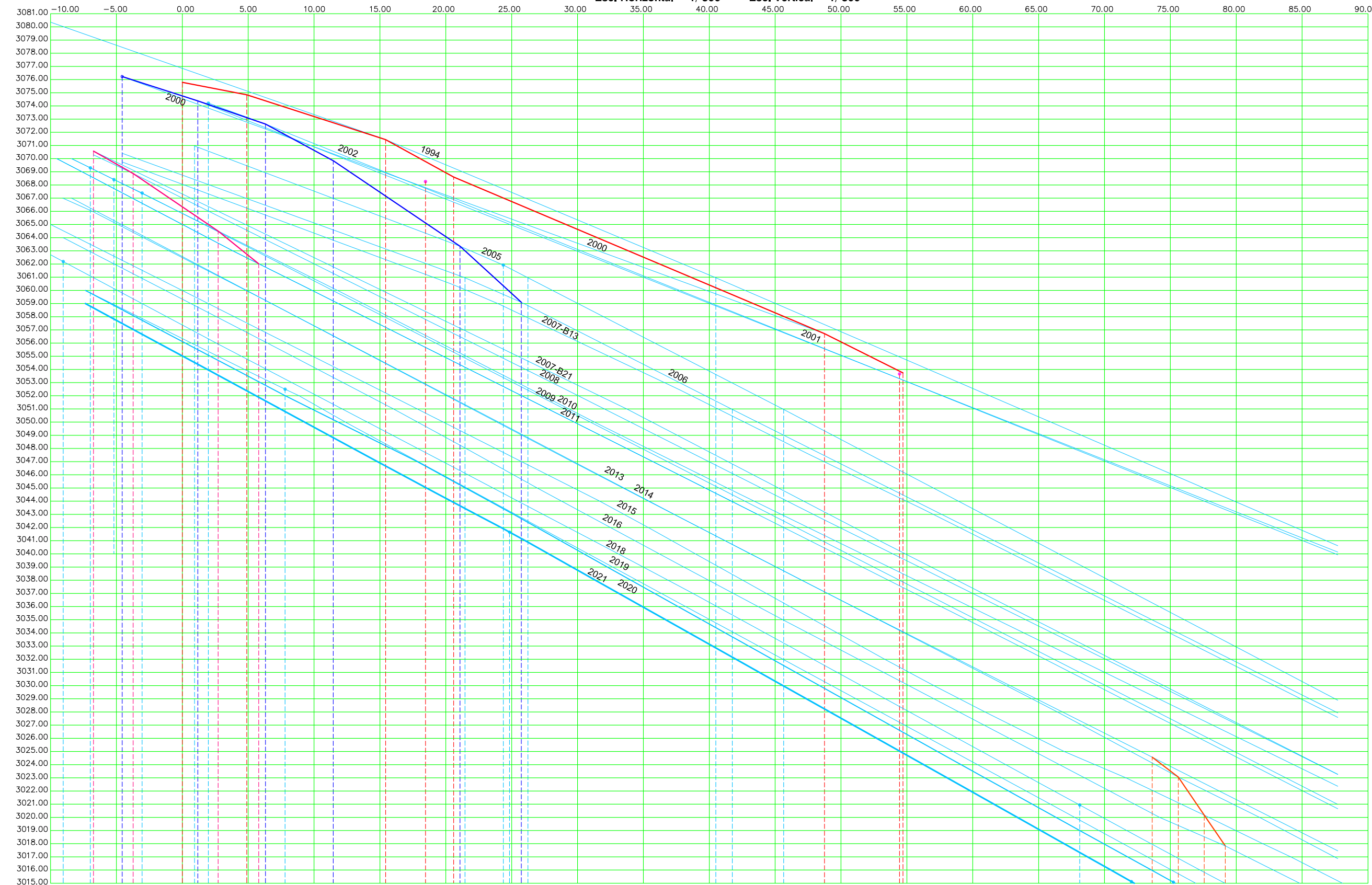
ESCALA 1:2000



1.2.- GLACIAR DE LA MALADETA.
MOVIMIENTOS INDIVIDUALES DE LAS BALIZAS

MALADETA - BALIZAS 2, 13, 21 y 25

Esc. Horizontal = 1/300 Esc. Vertical = 1/300



Distancia al origen

Distancia parcial

Cota terreno

Desnivel

Perfil

B154-2008 3062.19
B698-2009 3068.30
B21-2007 0.00 3070.57 0.00 0.00
P13-2002 3068.41 3068.22 0.00 0.00
B13-2009 0.00 3068.88 3.01 3.01
B21-2009 5699-2009 -1.70 3067.39

B21-2008 3068.41 3067.39 0.00 0.00
B21-2010 -6.04 3064.50 6.45 9.46
B21-2011 -2.49 3065.02 3.08 12.54
B13-2002 -1.76 3072.62 5.14 10.88
B13-2009 -1615-2019 3052.50

B13-2005 -2.78 3068.85 5.14 16.02
B2-1994 -3.40 3071.44 10.54 15.43
P2-1999 -1.52 3068.26
B2-1985 -2.84 3068.61 5.16 20.60
B13-2005 -6.49 3063.36 9.62 25.64
P148-2005 3061.03
P1916-2021 3041.63
B13-2006 -4.27 3059.09 4.65 30.29

B2-2000

-11.89

3056.72

28.15

48.75

B2-2001

-2.97

3053.74

5.95

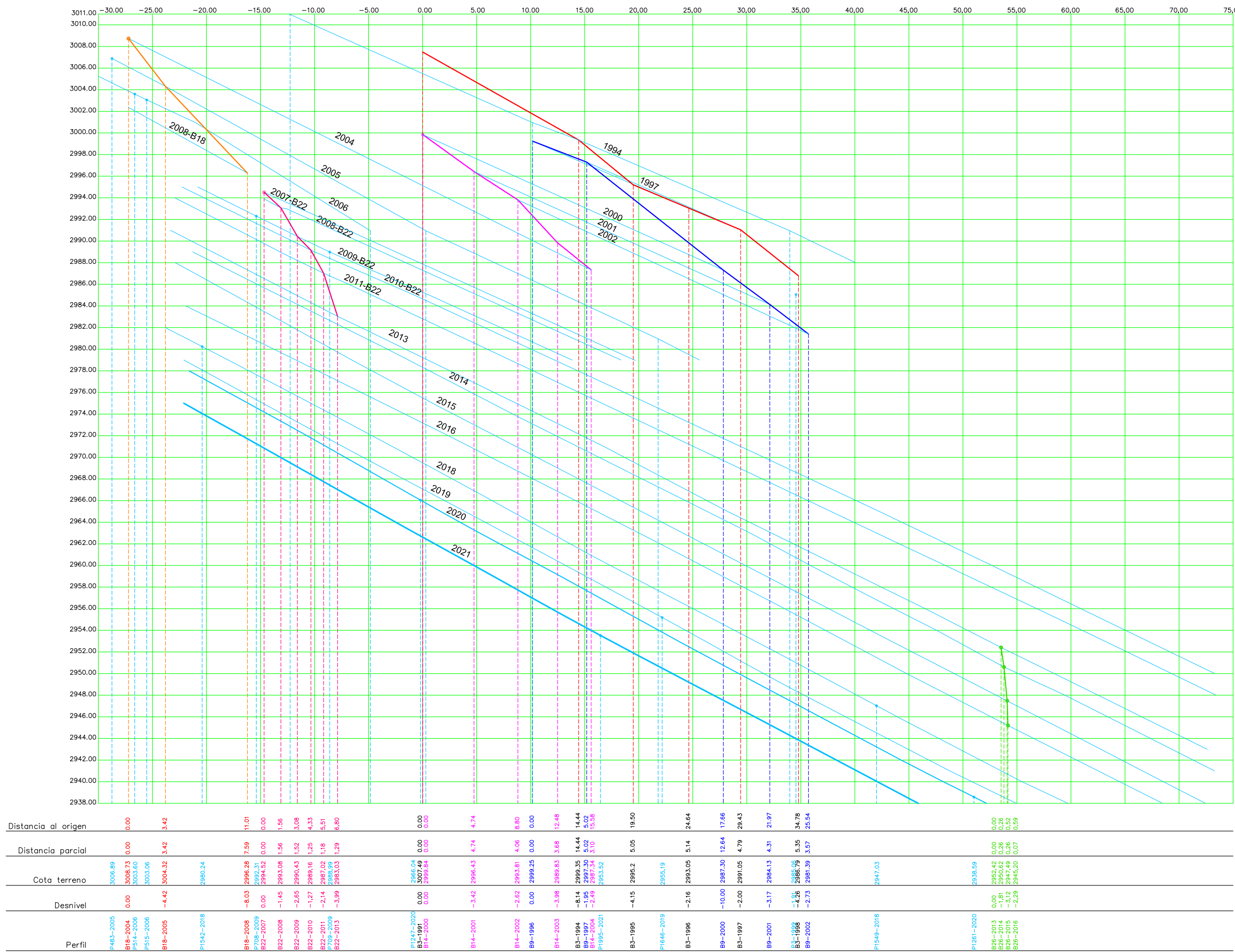
54.70

Perfil movimiento baliza 2
Perfil movimiento baliza 13
Perfil movimiento baliza 21
Perfil movimiento baliza 25
Perfiles reales glaciár

MALADETA - BALIZAS 3, 9, 14, 18, 22 y 26

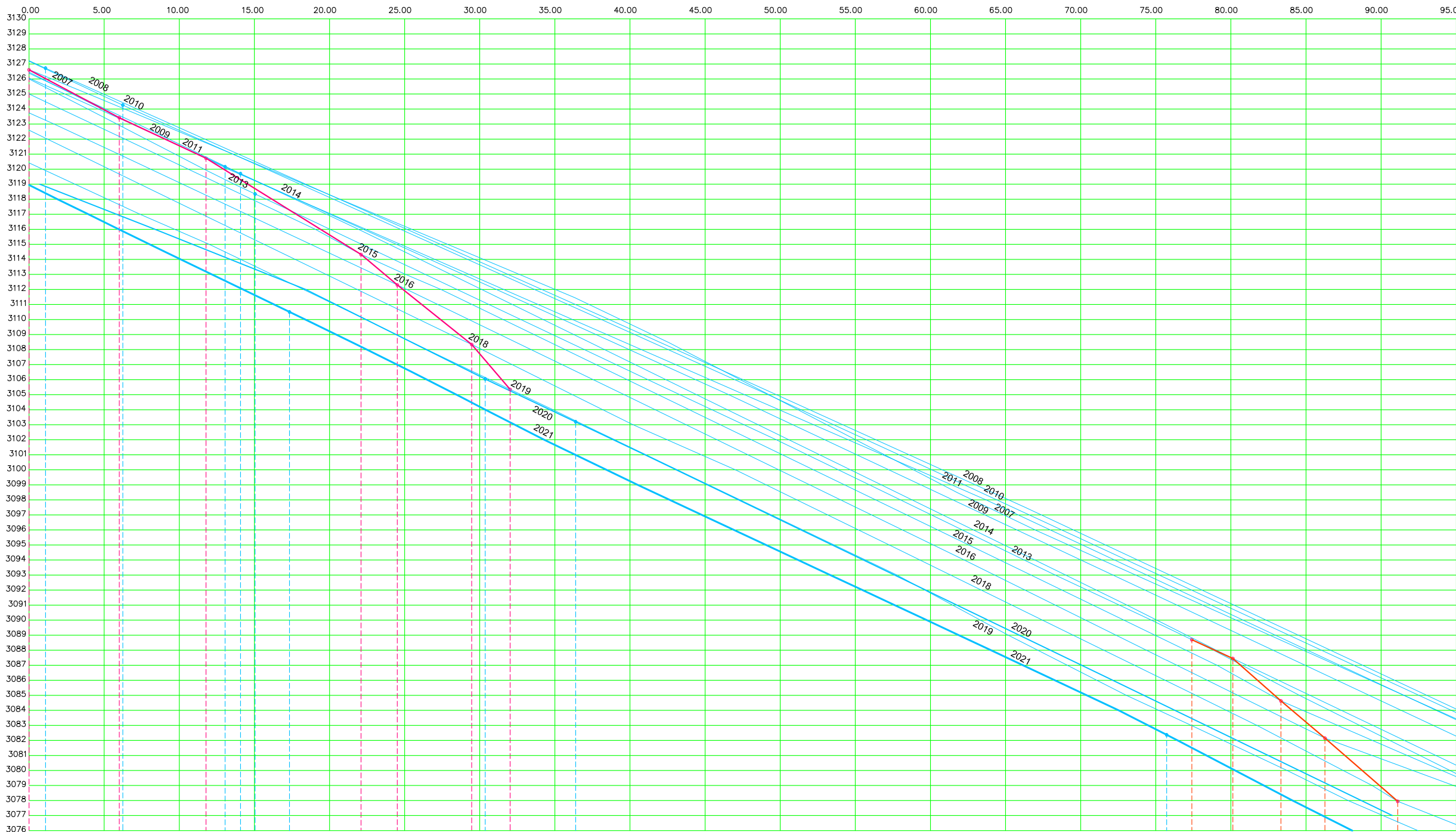
Esc. Horizontal = 1/ 350

Esc. Vertical = 1/ 350



MALADETA - BALIZAS 20 y 24

Esc. Horizontal = 1/ 300 Esc. Vertical = 1/ 300

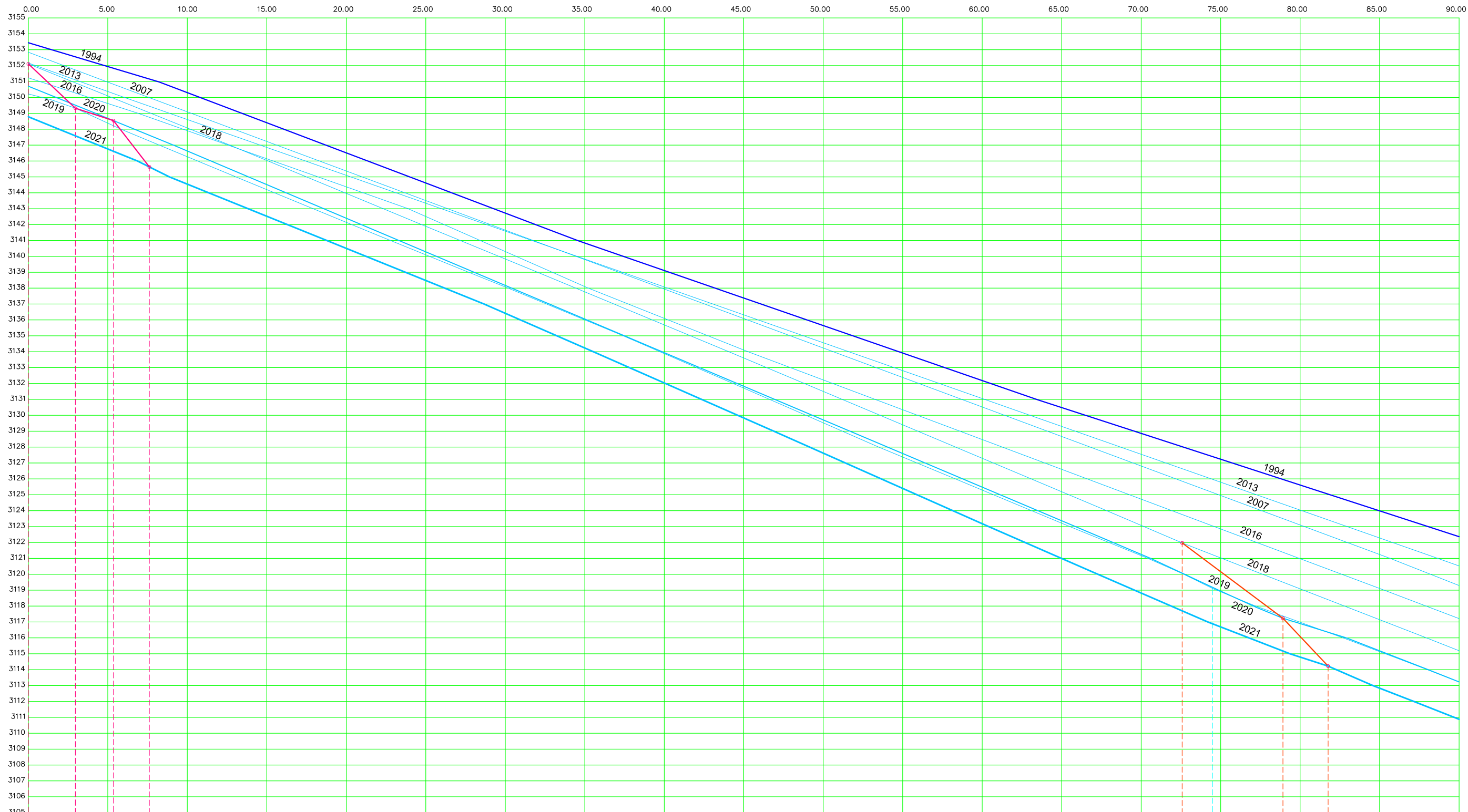


Distancia origen	0.00	
Distancia parcial	0.00	
Cota terreno	3126.62 3126.72	
Desnivel	0.00 -3.19 -2.36	
Perfil	B20–2007 P20–2008 B20–2009 P20–2010 B20–2011 P694–2009 P1033–2014 P349–2013 P1939–2020 B20–2015 B20–2016 B20–2018 P1194–2020 B20–2019 P1196–2020 P1904–2021	6.01 6.01 5.77 5.77 11.78 -2.71 -6.51 3120.11 3118.53 3110.50 -6.40 -2.02 3114.33 3112.30 2.41 24.51 -3.96 3108.34 3106.04 -8.09 3105.35 2.56 32.02 3103.19 3082.17 3088.70 0.00 0.00 2.73 2.73 3.20 5.93 2.93 8.86 13.70

Perfil movimiento baliza 20
Perfil movimiento baliza 24
Perfiles reales glaciar

MALADETA - BALIZAS 27 y 28

Esc. Horizontal = 1/250 Esc. Vertical = 1/250

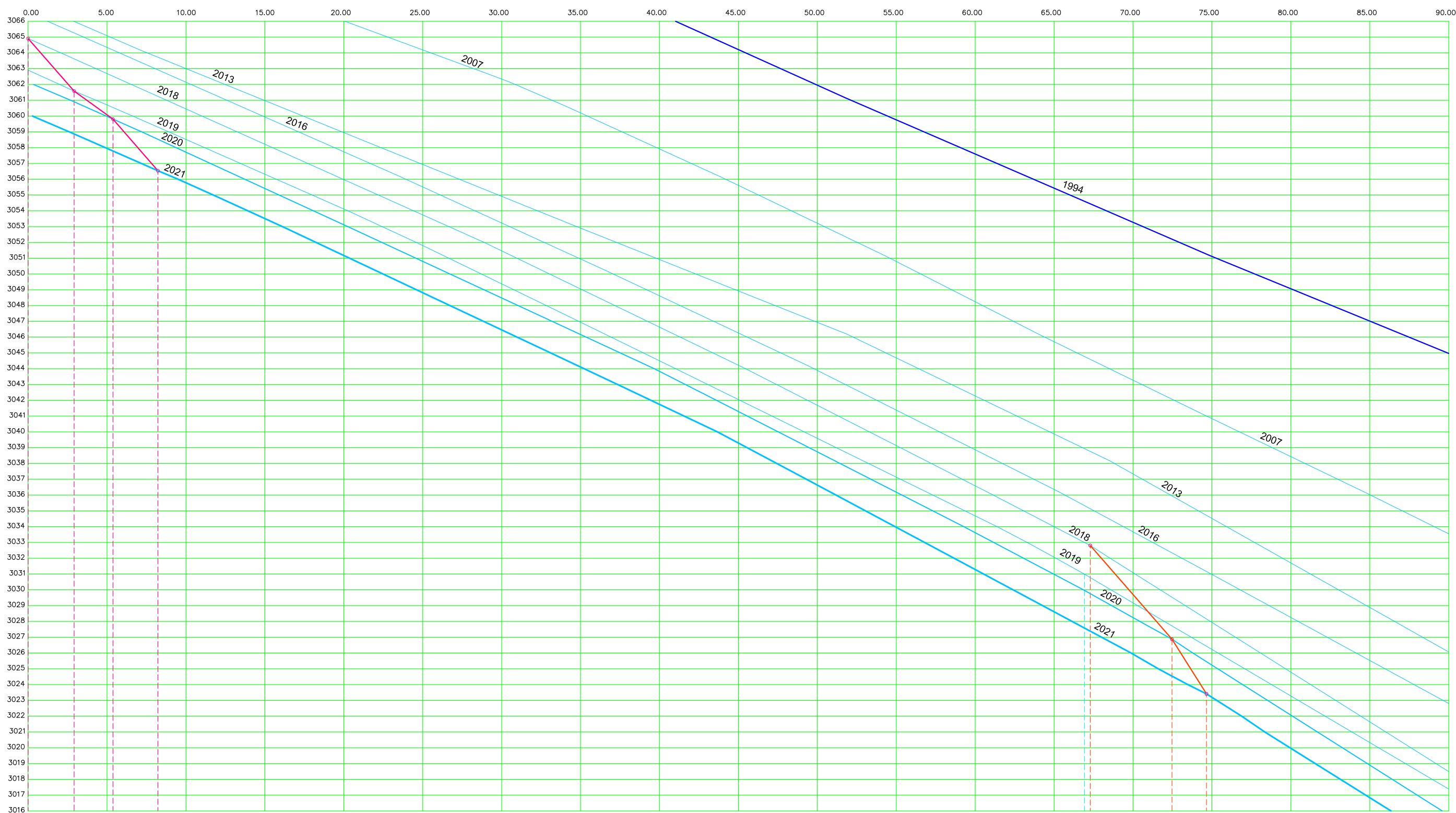


Distancia origen	0.00							
Distancia parcial	0.00							
Cota terreno	3152.11							
Desnivel	0.00							
Perfil	B27-2018	-2.79	3149.32	2.36	2.96			
	B27-2019	-0.78	3148.54	2.40	5.36			
	B27-2020	-2.91	3148.63	2.25	7.61			
	B27-2021	-3.01	3144.22	2.84	9.18			
	B28-2018	-4.73	3117.23	6.34	6.34			
	B28-2019	-2.85	3119.11	1.91	1.91			
	B28-2020	-3.01	3114.22	2.84	9.18			

Perfil movimiento baliza 27
Perfil movimiento baliza 28
Perfiles reales glaciar

MALADETA - BALIZAS 29 y 30

Esc. Horizontal = 1/250 Esc. Vertical = 1/250

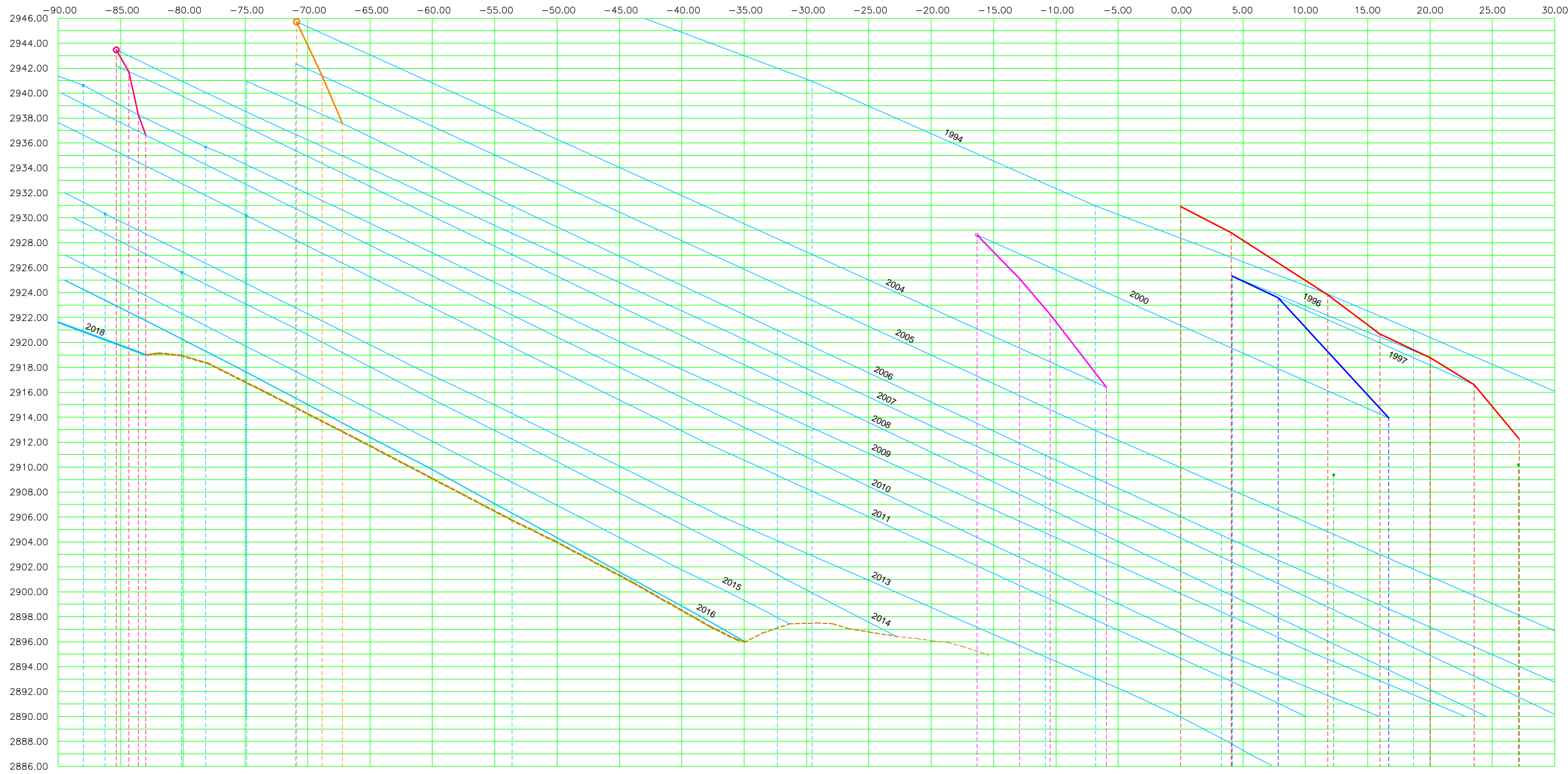


Distancia origen	0.00							
Distancia parcial	0.00							
Cota terreno	3064.94	3064.58	2.92	2.92				
Desnivel	0.00	-3.36	3064.58	2.92	2.92			
Perfil	B29-2018	B29-2019	B29-2020	B29-2021	B30-2019	B30-2020	B30-2021	

- Perfil movimiento baliza 29
- Perfil movimiento baliza 30
- Perfiles reales glaciar

MALADETA - BALIZAS 4, 11, 16, 19 y 23

Esc. Horizontal = 1/ 350 Esc. Vertical = 1/ 350



	Distancia al origen		
	Distancia parcial		
Cota terreno	P981-2009	B23-2007	B23-2008
	2940.61	2930.30	2943.34
	0.00	0.00	0.99
	-1.73	0.99	0.78
	-1.35	1.77	
	-1.64	2.37	
			0.60
Desnivel	P1091-2014	2925.62	2935.68
		2930.18	
			2940.61
Perfil	P711-2009	P712-2009	P897-2011
	0.00	0.00	0.00
	-3.39	2942.38	2942.72
	B19-2004	2941.61	2941.39
	-4.34	2.05	2.05
	B19-2005		
	-3.62	2937.57	1.62
			3.67

- Perfil movimiento baliza 4
- Perfil movimiento baliza 11
- Perfil movimiento baliza 16
- Perfil movimiento baliza 19
- Perfil movimiento baliza 23
- Perfiles reales glacial

MALADETA - BALIZAS 5, 12 y 17

Esc. Horizontal = 1/200 Esc. Vertical = 1/200

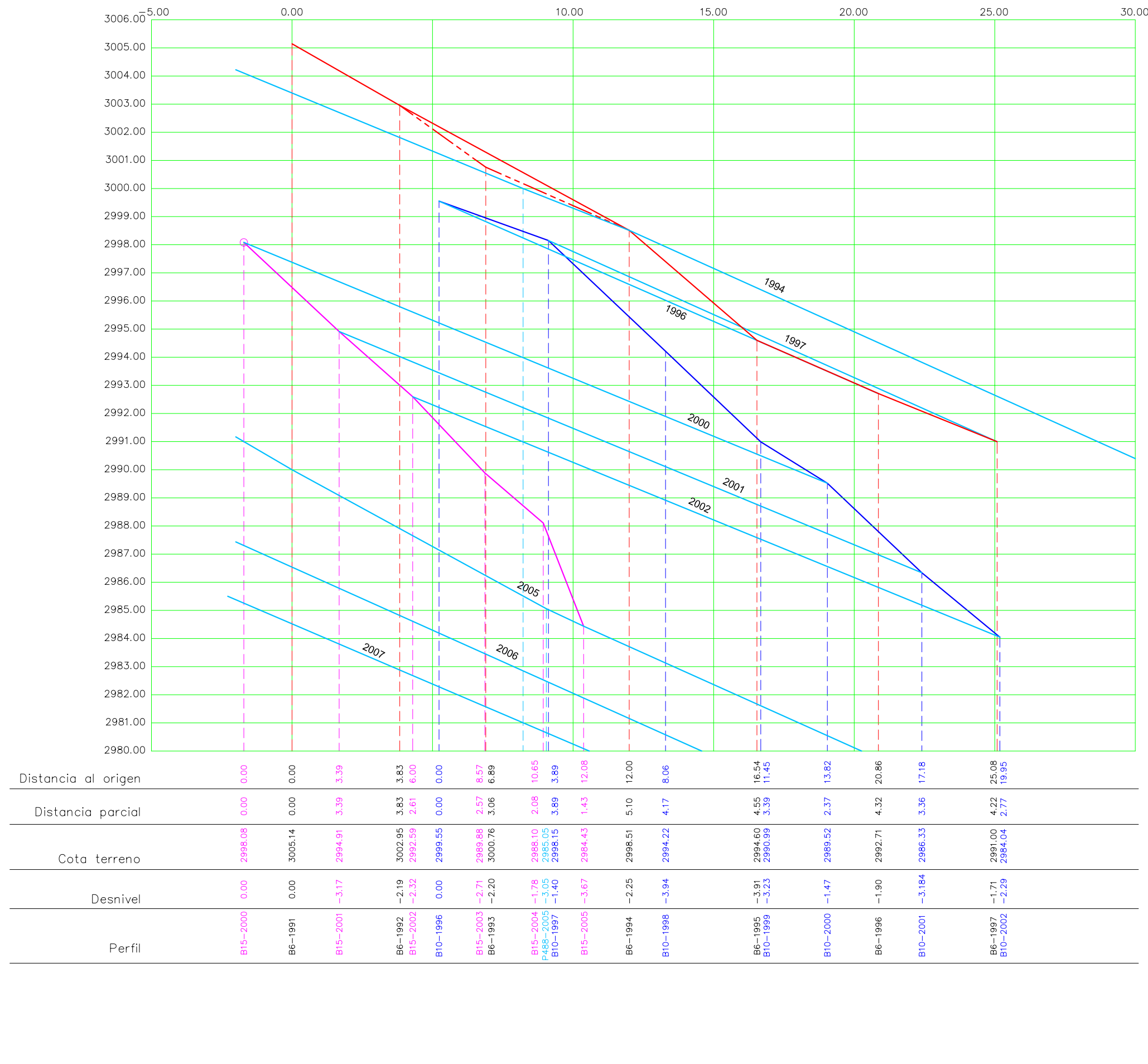


- Perfil movimiento baliza 5
- Perfil movimiento baliza 12
- Perfil movimiento baliza 17
- Perfiles reales glaciar

MALADETA - BALIZAS 6, 10 y 15

Esc. Horizontal = 1 / 150

Esc. Vertical = 1 / 150



MALADETA - BALIZAS 7 y 8

Esc. Horizontal = 1/ 100

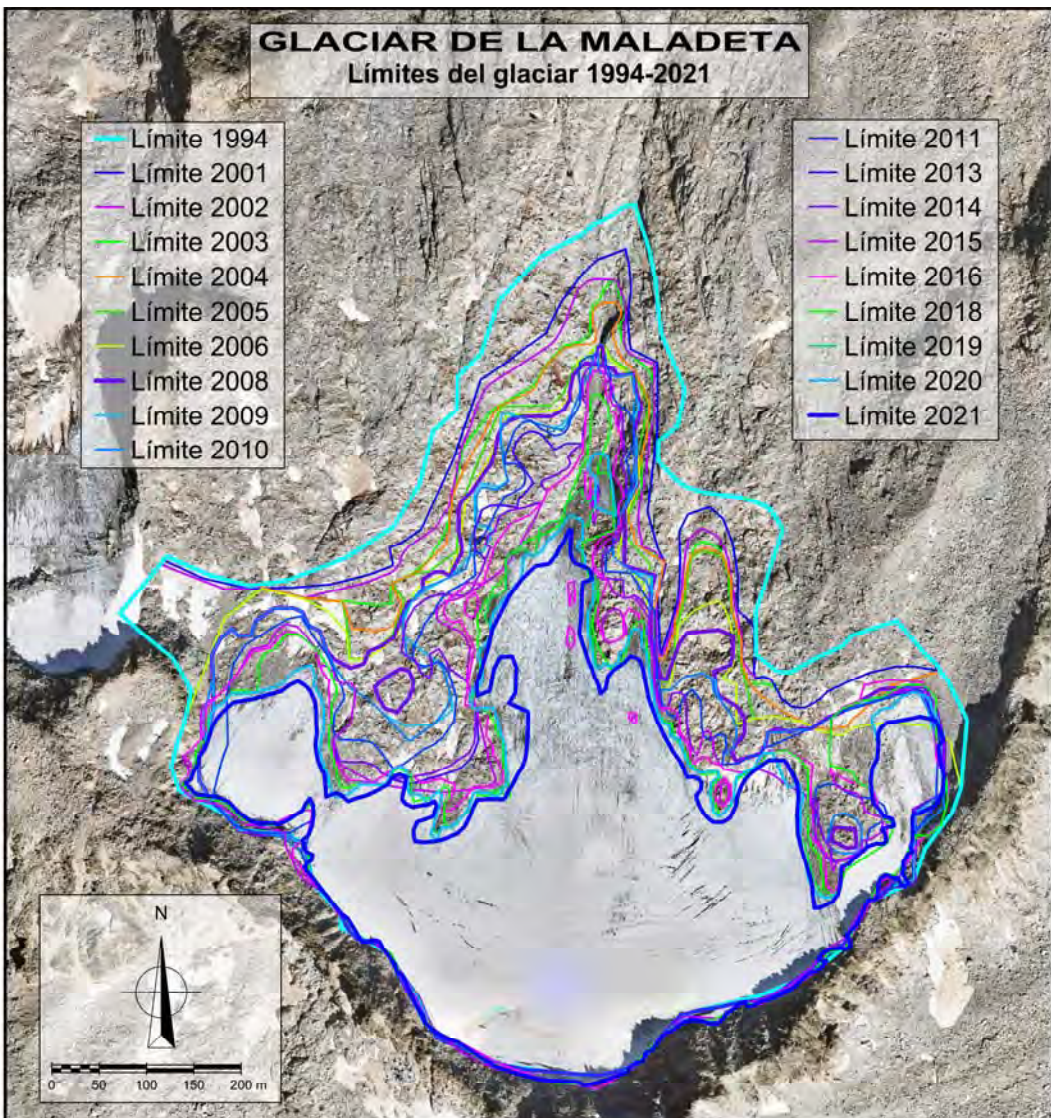
Esc. Vertical = 1/ 100



Perfil	Desnivel	Cota terreno	Distancia parcial	Distancia al origen
B7-1991	0.00	3008.00	0.00	0.00
B8-1996	0.00	3004.93	0.00	0.00
B7-1992	-1.05	3006.95	1.32	1.32
B8-1997	-0.70	3004.23	1.135	1.135
B8-1998	-2.79	3001.45	1.43	2.56
B7-1994	-2.35	3004.60	2.74	4.05
B8-1999	-2.37	2999.10	0.64	3.20
B8-2000	-0.73	2998.37	0.09	3.29
B8-2001	-2.85	2996.23	0.26	3.55
B8-2002	-1.14	2995.08	0.09	3.64
B7-1995	-2.09	3002.52	1.25	5.30
B7-1996	-0.18	3002.34	1.20	6.50
B7-1997	-0.57	3001.77	1.13	7.63
B7-1998	-2.73	2999.05	1.11	8.74
B7-1999	-2.18	2996.89	0.25	8.99

- Perfil movimiento baliza 7
- Perfil movimiento baliza 8
- Perfiles reales glaciar

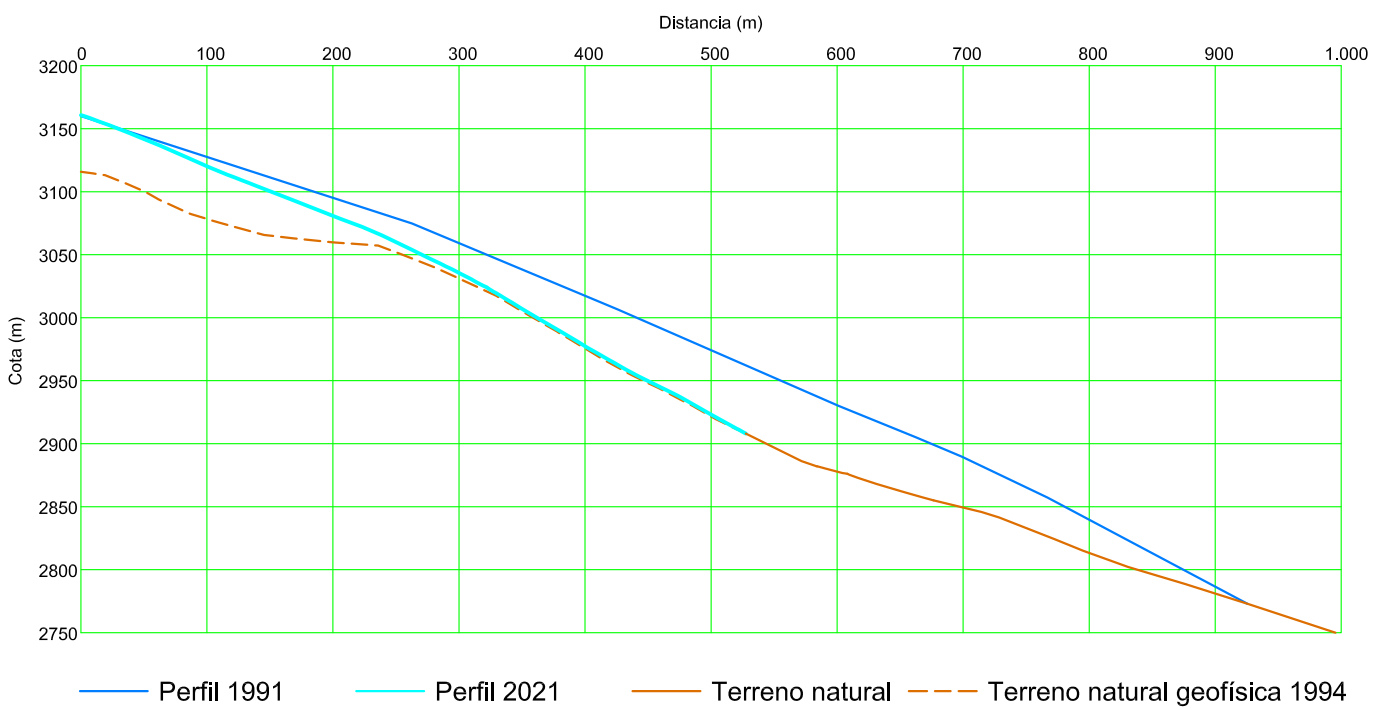
1.3.- GLACIAR DE LA MALADETA. LÍMITES DEL GLACIAR



1.4.- GLACIAR DE LA MALADETA. PERFIL LONGITUDINAL

GLACIAR DE LA MALADETA

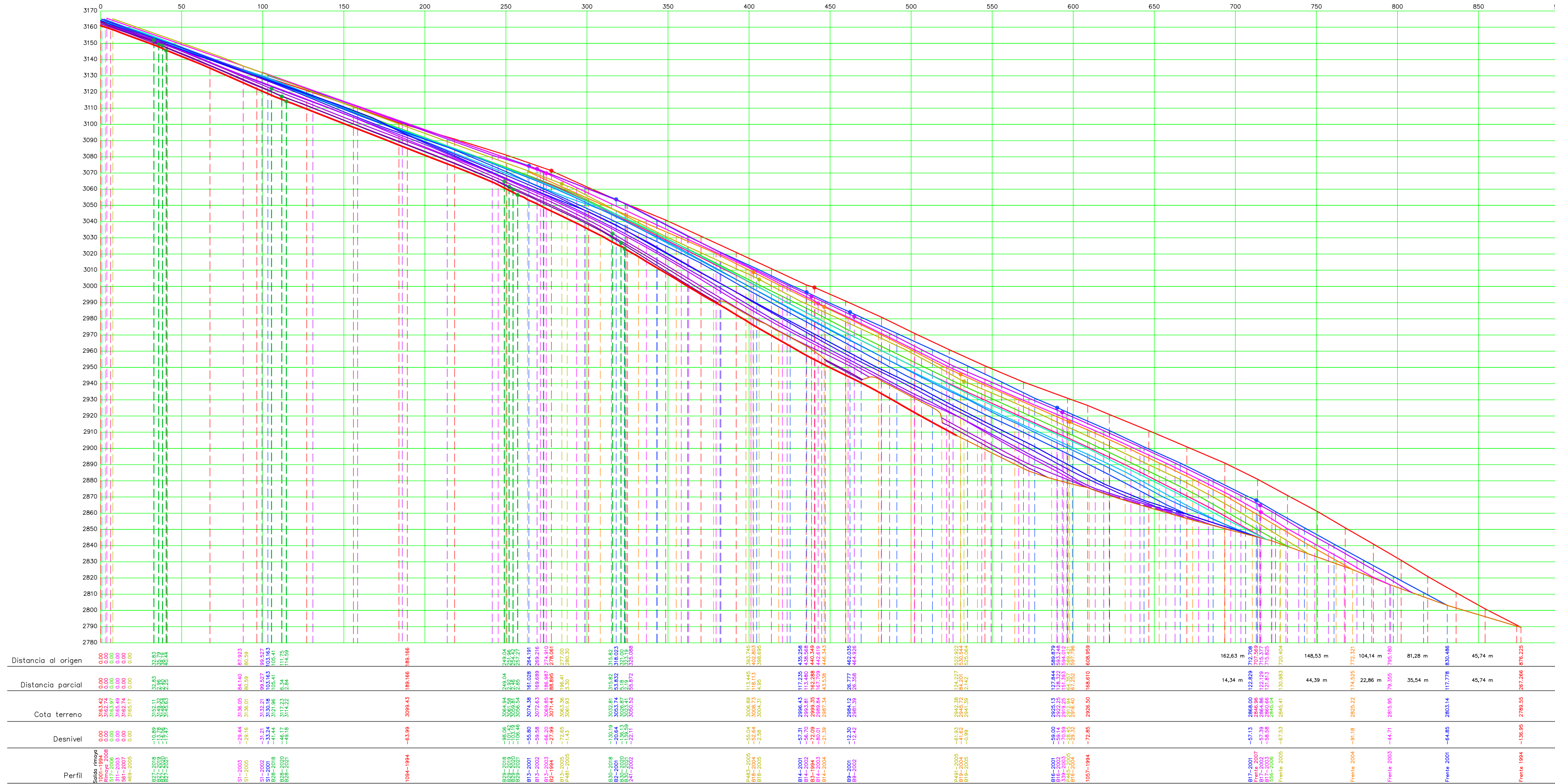
Perfiles longitudinales 1991-2021



MALADETA - PERFILES LONGITUDINALES 1994-2021

Esc. Horizontal = 1 / 2.000

Esc. Vertical = 1 / 2.000



ANEJO 2. RESULTADOS MODELO HIDROLÓGICO ASTER

INFORME MODELO ASTER 8.1.30

Modelo hidrológico pluviométrico-nival de simulación y previsión

(C) Junio 2005-2021, SPESA Ingeniería

Av. César Augusto 3, 10ºC

50004 Zaragoza (Spain)

(+34) 976410147 , 976134787

aster@spesa.es

www.spesa.es

[C:\Program Files (x86)\Aster\Asterw.EXE 14/06/2021 11:56]

SPESA Verdadero Verdadero Verdadero [Falso]

Aster Core: 6.1.0 2021 RTN DLY [36;29] , Versión 10 - Esquema clásico

Coeficientes de transferencia no unitarios.

Fichero de usuario:

Versión fichero de proyecto (.APJ): 0

System Requirements (MB): 9

Fecha de creación de este informe: 24/06/2021 09:39

--- DATOS FÍSICOS DE LA CUENCA

Nombre Cuenca...:MALADETA

Superficie.....:0.3 km²

Altitud media...:3066.4 m

Altitud máxima...:3222.6 m

Altitud mínima..:2854.5 m

Número de Celdas: 460

Tamaño celdas(m): 25 x 25

Hemisferio: N

Latitud media...: 43.0 º

Versión .CUE ...: 2

Se calcula en la celda Nº: 459

(X;Y;Z;Celda) Cierre: 306605;4725263;2855

(Sin conexión entre cuencas)

Se aplica el gradiente termométrico estático.

--- DATOS METEOROLÓGICOS**-- PERIODO ORIGINAL**

Dato Inicial.: 01/10/2020 00:00 Dato final.: 19/06/2021 00:00

Periodicidad de los datos: Diarios

--- DATOS DE SIMULACIÓN**-- PERIODO SIMULADO**

Dato Inicial.: 01/10/2020 00:00 Dato final.: 19/06/2021 00:00

Número de datos: 262

Periodicidad de la ejecución: Diarios

--- DATOS DE PREVISIÓN**-- PERIODO DE PREVISION**

No se realiza previsión meteorológica.

-- FICHEROS UTILIZADOS

Cuenca.... : C:\Trabajos\1414- Maladeta 2021\20210618 acumulación\Aster\MALADETA2017.CUE
Bitmap : C:\Trabajos\1414- Maladeta 2021\20210618 acumulación\Aster\MALADETA2017.BMP
Estaciones : C:\Trabajos\1414- Maladeta 2021\20210618 acumulación\Aster\Maladeta_2019-20.Est
Parámetros : C:\Trabajos\1414- Maladeta 2021\20210618 acumulación\Aster\MALADETA2020_CALIBRACION.INI
Datos MTO. : C:\Trabajos\1414- Maladeta 2021\20210618 acumulación\Aster\Maladeta_2020-21_V2.MET
Pértigas : C:\Trabajos\1414- Maladeta 2021\20210618 acumulación\Aster\MALADETA2017.CPE

ND: Dato No Disponible

---- PARÁMETROS DE AJUSTE

Coeficiente de Correlación, R = -1.000

NTD = -1.000

Coeficiente de variabilidad, CoVb = -1.000

Relación residuos-caudal medio, S = -1.000

-- DATOS HIDRO-MORFOLÓGICOS DE LA CUENCA (PERIODO DE SIMULACIÓN)

Coeficiente de Evaporación: 0.049

Coef.Escorrentía Calculado: 0.060

Coef.Escorrentía Observado: 0.000

-- BALANCE HIDROLÓGICO (PERIODO DE SIMULACIÓN)

Estado previo

Volumen disponible(hm³) : 0.0

Acumulado en depósitos (hm³) : 0.0

Nieve acumulada (hm³) : 0.0

Balance

Precipitación Total (hm³) : 0.5

Aport. Externas (.APE)(hm³) : 0.000

Deriv. Externas (.APE)(hm³) : 0.000

Aport. Externas reales(hm³) : 0.000

Deriv. Externas reales(hm³) : 0.000

Aportaciones Forzadas (hm³) : 0.000

Evaporación Total (hm³) : 0.00

Sublimación Total (hm³) : 0.02

Incremento Nieve Acumulada(hm³): 0.33

Aportación Calculada (hm³) : 0.03

Aportación Observada (hm³) : 0.00

Balance de precipitaciones

Total precipitaciones (hm³) : 0.5

Total precip. líquidas (hm³) : 0.0

Total precip. estado sólido-nieve (hm³): 0.5

Lluvia infiltrada (%) / (hm³) : 0.0 / 0.0

Lluvia retenida-evap. (%)/(hm³): 0.0 / 0.0

Escorrentía directa (%) / (hm³): 0.0 / 0.0

Nieve fundida (infiltrada) (%) : 23.5

Nieve sublimada (%) : 4.7

Origen de la escorrentía natural

Escorrentía natural (hm³) : 0.1

Escorrentía directa(%) / (hm³) : 0.0 / 0.0

Escorrentía retrasada(%)/(hm³) : 81.3 / 0.1

Escorrentía superf.(%)/(hm³) : 0.0 / 0.0

Subterránea (lenta) (%)/(hm³) : 18.7 / 0.0

Estado final

Volumen disponible(hm³) : 0.0

Nieve acumulada (hm³) : 0.3

Acumulado en depósitos (hm³) : 0.1

En depósito superior(hm³) : 0.0

En depósito inferior(hm³) : 0.0

Incrementos

Incremento Depósitos(hm³) : 0.1

Incremento Depósitos (%) : 1003.7

Inc.Depósitos/Preci.Total (%) : 11.5

Ausencia Caudales Obs.(%) : 100.0

---- DATOS DE ESTACIONES METEOROLÓGICAS (SIMULACIÓN + PREVISIÓN)

-- PRECIPITACIONES

Estación: A258 ÉSERA (CAMPO) Cota(m): 675 Celda: -99

Máxima = 39.2000 mm Total =607.6002 mm Media = 2.3280 mm Disponibilidad de datos = 99.6%

Estación: A145 ERISTE Cota(m): 1050 Celda: -99

Máxima = 41.0000 mm Total =649.2001 mm Media = 2.5660 mm Disponibilidad de datos = 96.6%

Estación: P102 Cerler Cota(m): 1900 Celda: -99

Máxima = 72.4000 mm Total =806.6002 mm Media = 3.1631 mm Disponibilidad de datos = 97.3%

Estación: P103 Llanos del Hospita Cota(m): 1752 Celda: -99

Máxima = 59.7000 mm Total =1019.0000 mm Media = 3.8893 mm Disponibilidad de datos = 100.0%

Estación: R064 La Coma Cota(m): 1770 Celda: -99

Máxima = 43.8000 mm Total =856.6001 mm Media = 3.2695 mm Disponibilidad de datos = 100.0%

Estación: A171 Molino de Gistaín Cota(m): 1260 Celda: -99

Máxima = 40.2000 mm Total =719.4999 mm Media = 2.7567 mm Disponibilidad de datos = 99.6%

-- TEMPERATURAS

Estación: N006 Ordiceto Cota(m): 2380 Celda: -99

Máxima = 13.81 °C Mínima = -12.12 °C Media = 0.61 °C Disponibilidad de datos = 78.2%

Estación: N007 Renclusa Cota(m): 2180 Celda: -99

Máxima = -99.00 °C Mínima = -99.00 °C Media = -99.00 °C Disponibilidad de datos = 0.0%

Estación: N008 Salenques Cota(m): 2600 Celda: -99

Máxima = 12.17 °C Mínima = -13.46 °C Media = -0.09 °C Disponibilidad de datos = 76.3%

Estación: N009 Eriste Cota(m): 2350 Celda: -99

Máxima = 14.38 °C Mínima = -10.57 °C Media = 2.26 °C Disponibilidad de datos = 80.2%

Estación: A258 ÉSERA (CAMPO) Cota(m): 675 Celda: -99

Máxima = 21.67 °C Mínima = -5.02 °C Media = 7.26 °C Disponibilidad de datos = 98.1%

Estación: A145 ERISTE Cota(m): 1050 Celda: -99
 Máxima = 20.25 °C Mínima = -6.04 °C Media =7.03 °C Disponibilidad de datos = 99.6%
 Estación: P102 Cerler Cota(m): 1900 Celda: -99
 Máxima = 15.48 °C Mínima = -9.96 °C Media =3.17 °C Disponibilidad de datos = 99.6%
 Estación: R058 Pegueras Cota(m): 1990 Celda: -99
 Máxima = -99.00 °C Mínima = -99.00 °C Media =-99.00 °C Disponibilidad de datos = 0.0%
 Estación: N015 Besurta Cota(m): 1930 Celda: -99
 Máxima = 15.33 °C Mínima = -9.96 °C Media =3.26 °C Disponibilidad de datos = 70.6%

-- ELEMENTOS DE CONTROL NIVAL

Elementos:B20 B20 Cota(m): 3125 Celda: 128
 Elementos:B24 B24 Cota(m): 3075 Celda: 180
 Elementos:B25 B25 Cota(m): 3000 Celda: 350
 Elementos:B26 B26 Cota(m): 2940 Celda: 422
 Elementos:B17 B17 Cota(m): 2870 Celda: 457

--- DATOS GENERALES PARA LA CUENCA COMPLETA (SÓLO PERÍODO DE SIMULACIÓN)

-- TEMPERATURAS

Máxima	Fecha	Mínima	Fecha	Media
5.49 °C	15/06/2021 00:00	-20.39°C	27/12/2020 00:00	-8.68°C

-- PRECIPITACIONES

Máxima	Fecha	Total
97.2908 mm	02/10/2020 00:00	1747.5280 mm

-- NIEVE PRECIPITADA/ACUMULADA

Máxima	Fecha	Máxima	Fecha
97.3 mm	02/10/2020 00:00	0.4 hm³	01/06/2021 00:00

-- CAUDALES CALCULADOS (SIMULACIÓN)

Máximo	Fecha	Mínimo	Fecha	Medio	Total
0.04 m³/s	19/06/2021 00:00	0.00 m³/s	21/05/2021 00:00	0.0m³/s	0.03 hm³

-- CAUDALES OBSERVADOS (SIMULACIÓN)

Máximo	Fecha	Mínimo	Fecha	Total
ND	ND	ND	ND	ND

-- SUPERFICIE INNIVADA Y VOLÚMENES ALMACENADOS POR COTAS

Fecha: 19/06/2021 00:00
 Intervalo (m): 100
 Cota Inicio Nieve (m): 2855
 Superficie Total Innivada (km²): 0.3 (99.8 %)
 Altura Agua Equiv. Media(mm): 1199.6
 Volumen Agua en forma de Nieve(hm³): 0.3

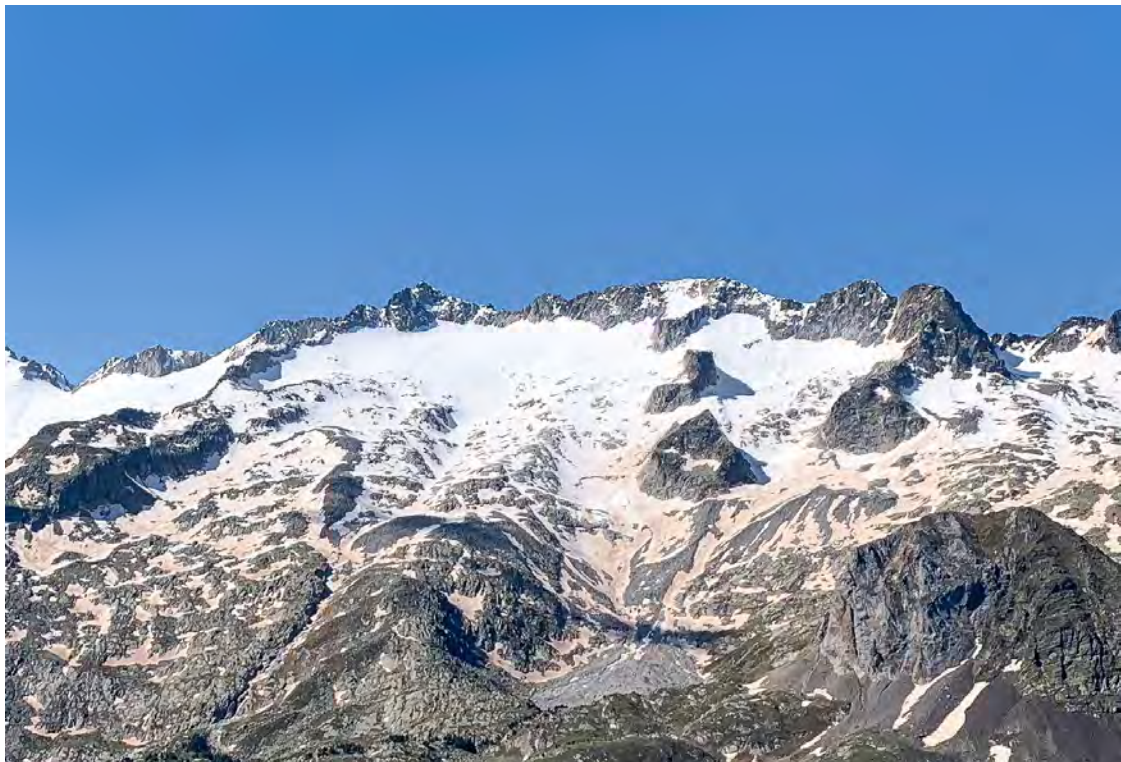
Intervalo Cotas(m)	Superficie Cuenca (Km²)	Superficie Innivada (km²)	Volumen Almacenado hm³	Altura Agua Sup./sup. total innivada Vol./vol. Total almacenado	Equivalente (mm)
--------------------	-------------------------	---------------------------	------------------------	---	-------------------------

2855 - 2900	0.0	0.0 (2.3 %)	0.01 (1.7 %)	884.59	
2900 - 3000	0.0	0.0 (14.8 %)	0.04 (12.6 %)	1024.54	
3000 - 3100	0.1	0.1 (46.5 %)	0.15 (46.1 %)	1190.72	

ANEJO 3. FOTOGRAFÍAS

GLACIAR DE LA MALADETA

Medida de la acumulación (18/06/2021)



Vista general del glaciar de La Maladeta, 12/06/2021



Medida del espesor a cota 2.870 m. 283 cm de espesor medio.



Cota 2.940 m. 253 cm de espesor medio



Cota 3.000 m. 282 cm de espesor medio



Cota 3.175 m. 270 cm de espesor medio



Cota 3.125 m. 294 cm de espesor medio



Rimaya, cota 3.165 m. 260 cm de espesor

Medida del balance (01/10/2021)



Glaciar del Aneto desde el helicóptero en 2020



Glaciar del Aneto desde el helicóptero en 2021



Glaciar de La Maladeta desde el helicóptero en 2020



Glaciar de La Maladeta el 06/09/2021. Foto Gerardo Bielsa.



Glaciar de La Maladeta visto desde la base topográfica en 2020



Glaciar de La Maladeta visto desde la base topográfica en 2021



Parte baja del glaciar vista desde la base topográfica en 2020



Parte baja del glaciar vista desde la base topográfica en 2021



Parte intermedia del glaciar vista desde la base topográfica en 2020



Parte intermedia del glaciar vista desde la base topográfica en 2021



Parte alta del glaciar vista desde la base topográfica en 2020



Parte alta del glaciar vista desde la base topográfica en 2021



Parte alta (margen izquierda) del glaciar vista desde la base topográfica en 2020



Parte alta (margen izquierda) del glaciar vista desde la base topográfica en 2021



Frente del glaciar desde la base topográfica 2020



Frente del glaciar desde la base topográfica 2021



Rimaya. Lugar donde aterriza el helicóptero para dejar al personal. Grieta no vista otros años.



Baliza 27, cota 3.146 m. Pérdida de 190 cm de espesor de hielo. Desplazamiento horizontal de 2,25 m.
Ha quedado al borde de una grieta, por lo que probablemente se pierda.



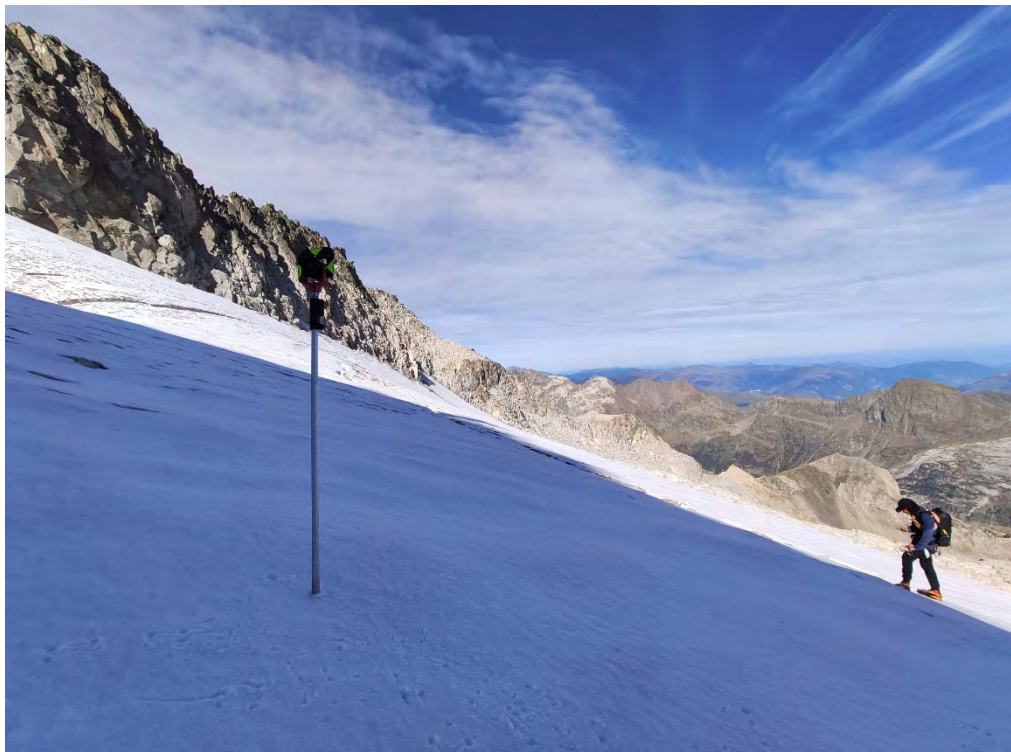
Parte superior del glaciar. Más grietas que en años anteriores. Foto Gerardo Bielsa.



Toma de puntos junto a una de las grietas de la parte superior del glaciar, margen izquierdo.



Baliza 28, cota 3.114 m. Pérdida de 207 cm de espesor de hielo. Desplazamiento horizontal de 2,84 m



Medición de puntos de la superficie del hielo glaciar (bajo unos 10 cm de nieve nueva. Jalón en contacto con el hielo) junto a la baliza 27



Tomando puntos por la parte alta del glaciar. Prisma, baliza 28 y segundo equipo más abajo



Baliza 29, cota 3.057 m. Pérdida de 273 cm de espesor de hielo. Desplazamiento horizontal de 2,85 m



Baliza 30, cota 3.023 m. Pérdida de 327 cm de espesor de hielo. Sólo quedan 70 cm, por lo que el año que viene desaparecerá. Desplazamiento horizontal de 2,19 m.



Parte baja del glaciar



Parte baja del glaciar desde el helicóptero y punto de recogida del personal

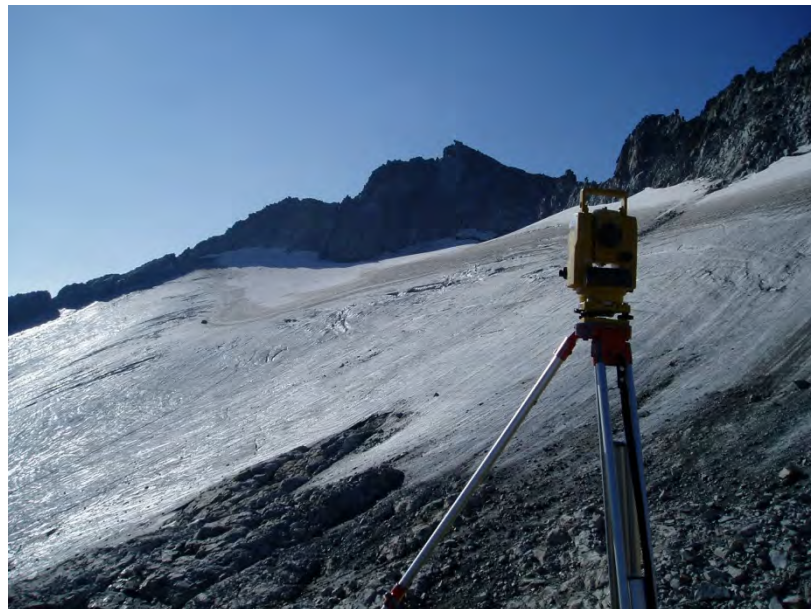


Parte baja del glaciar desde el helicóptero

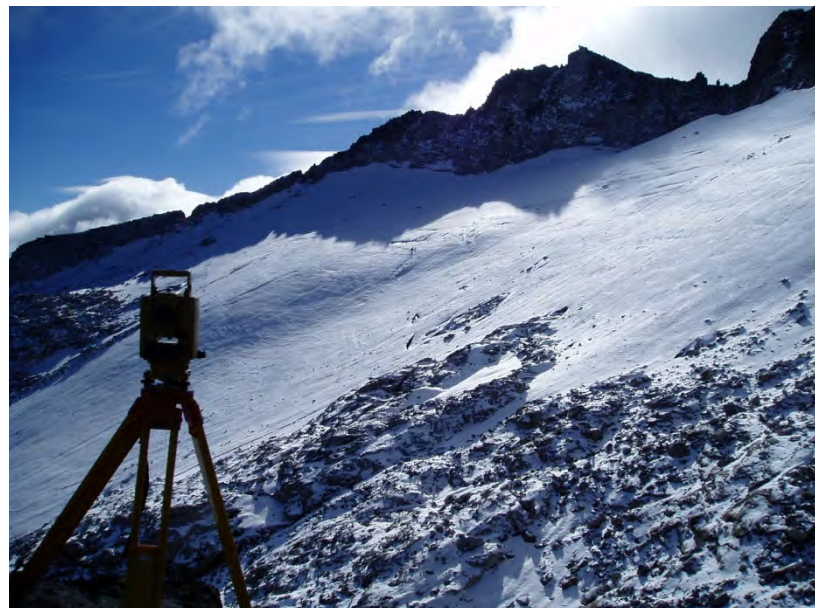
GLACIAR DE LA MALADETA. EVOLUCIÓN DE LA MARGEN IZQUIERDA DESDE LA BASE TOPOGRÁFICA



Año 2004



Año 2005



Año 2007



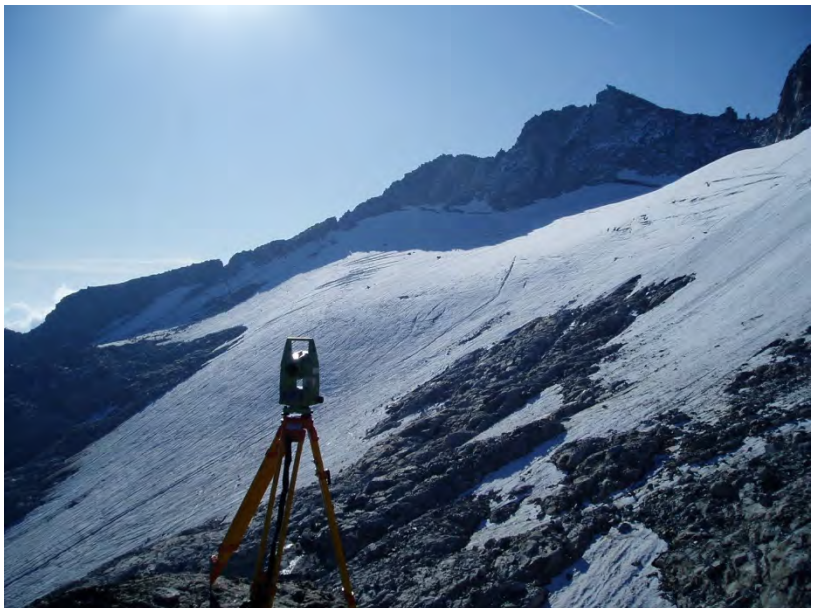
Año 2008



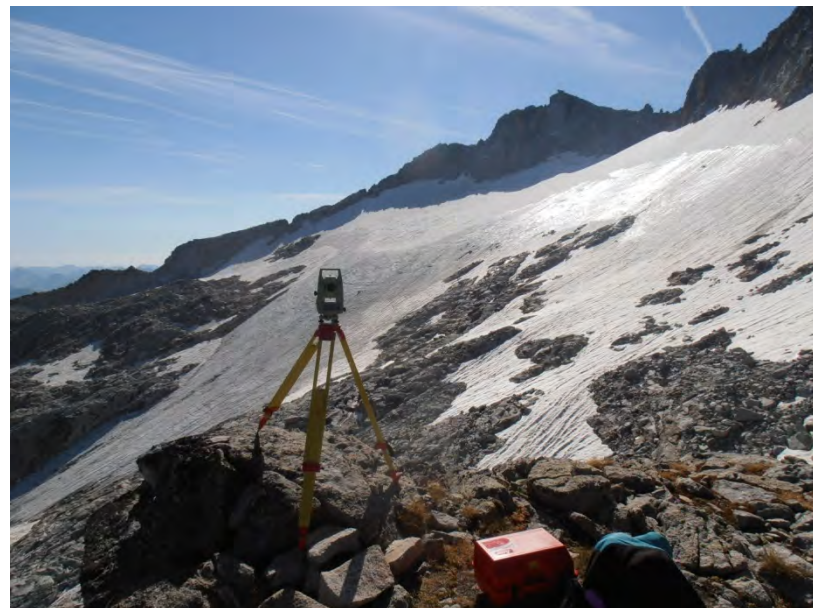
Año 2009



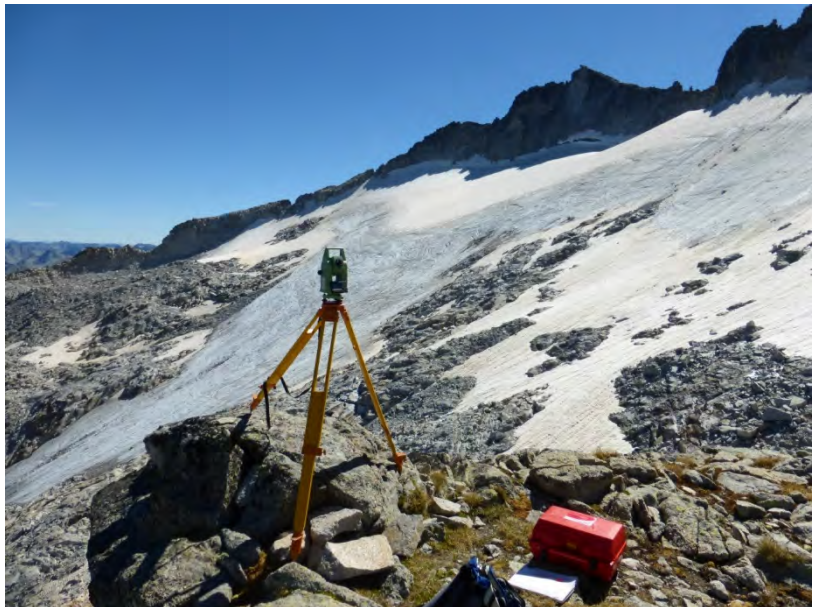
Año 2010



Año 2011



Año 2013



Año 2014



Año 2015



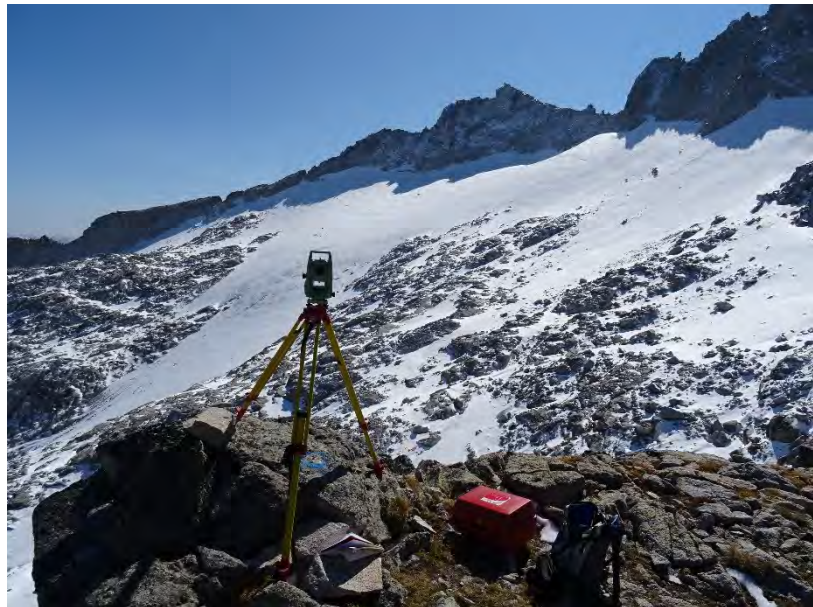
Año 2016



Año 2018



Año 2019



Año 2020



Año 2021